

Program TransAdapt

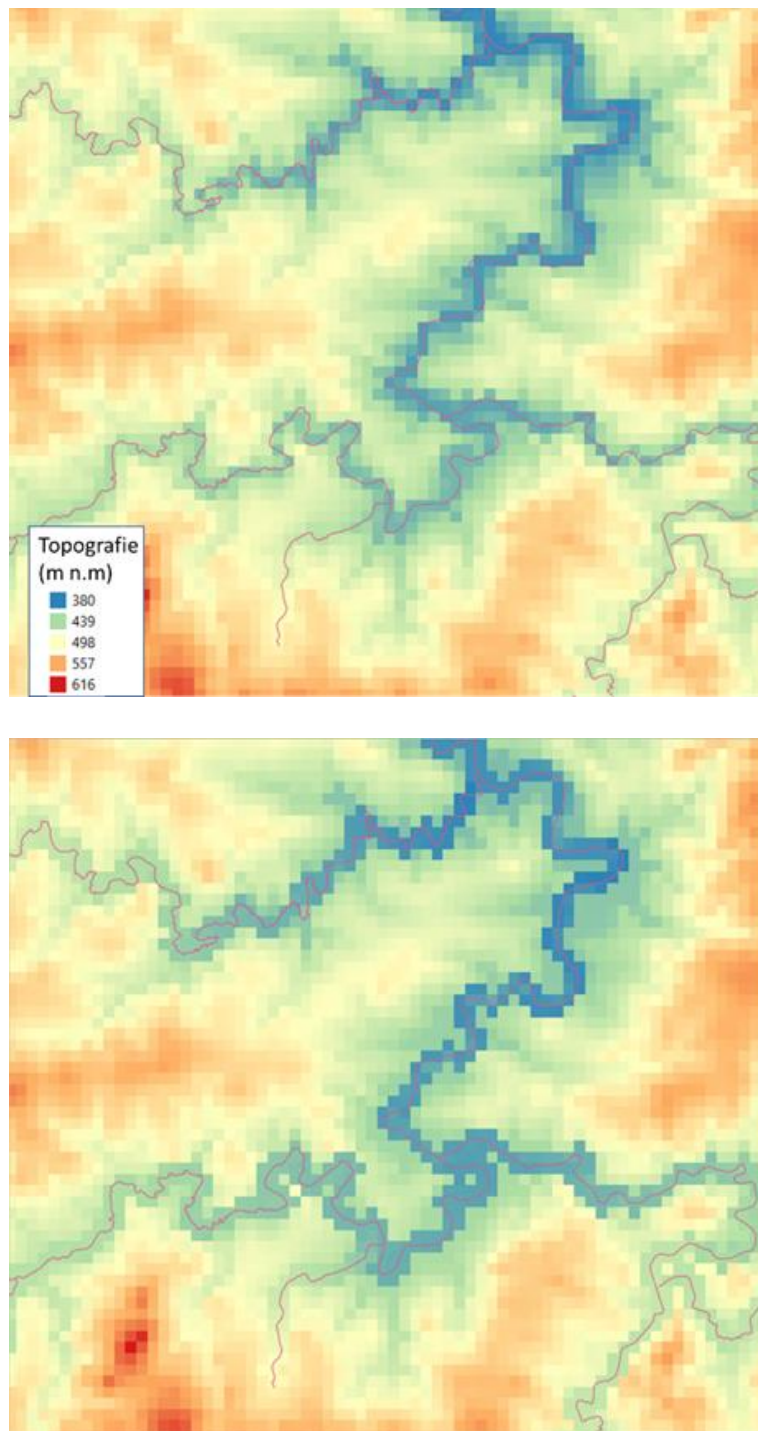
Translace poznatků a transfer postupů pro adaptaci na klimatickou změnu do zemědělské a lesnické praxe a veřejné správy: co-creative přístup

Aktivita 1.6

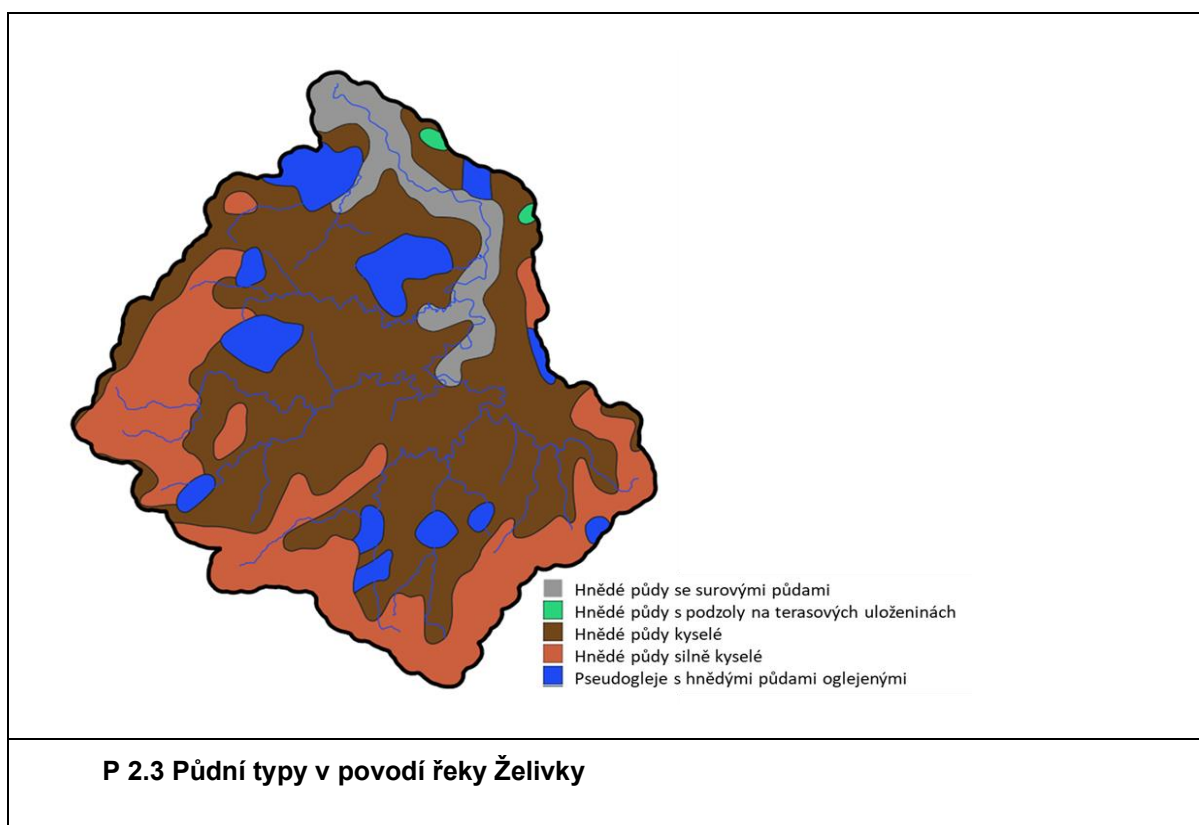
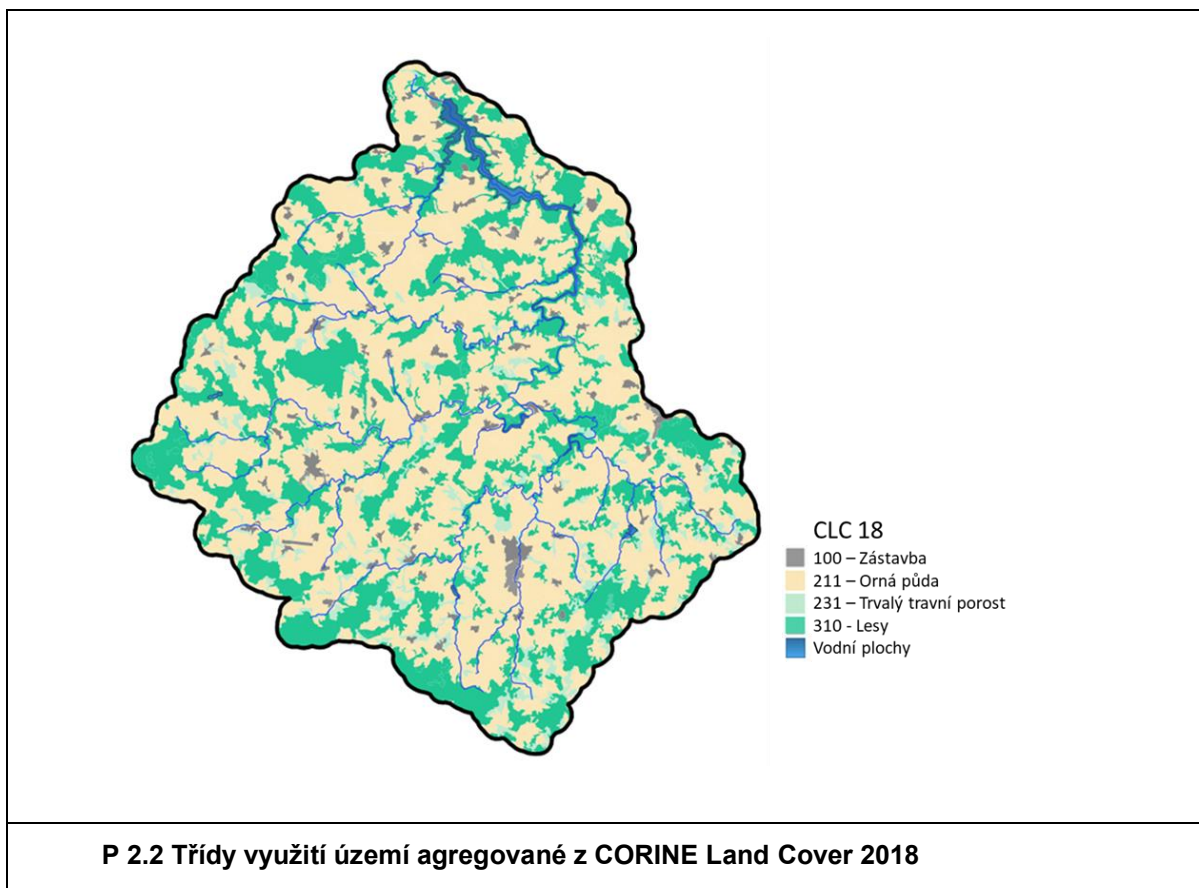
Digitální dvojče povodí Želivky a v.n. Švihov včetně 3D modelu nádrže – dokončení a kalibrace simulačních modelů v systému hydrologického povodí řeky Želivky

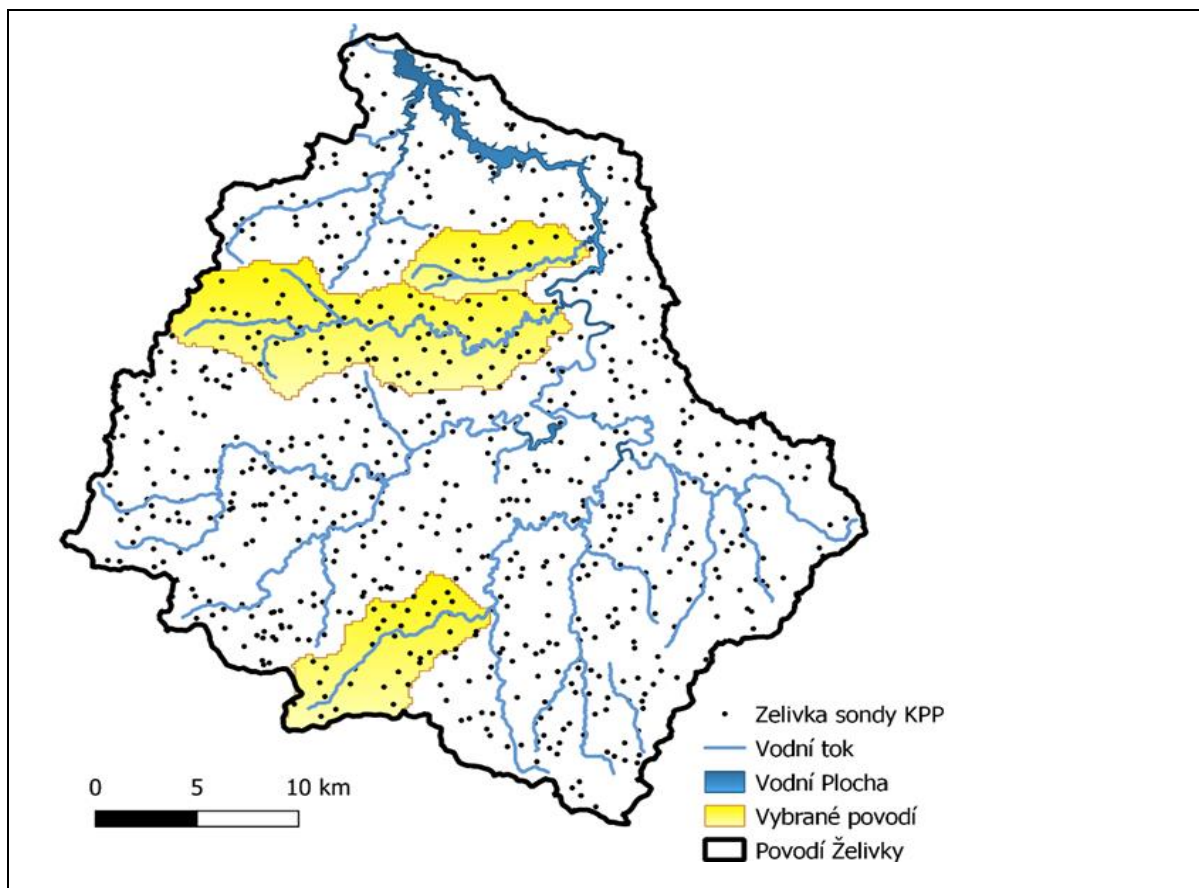
MAPOVÉ PŘÍLOHY

2. Příprava modelu Mike SHE a jeho sestavení k výpočtům a predikci vlivu klimatické změny na vodní bilanci – mapové přílohy

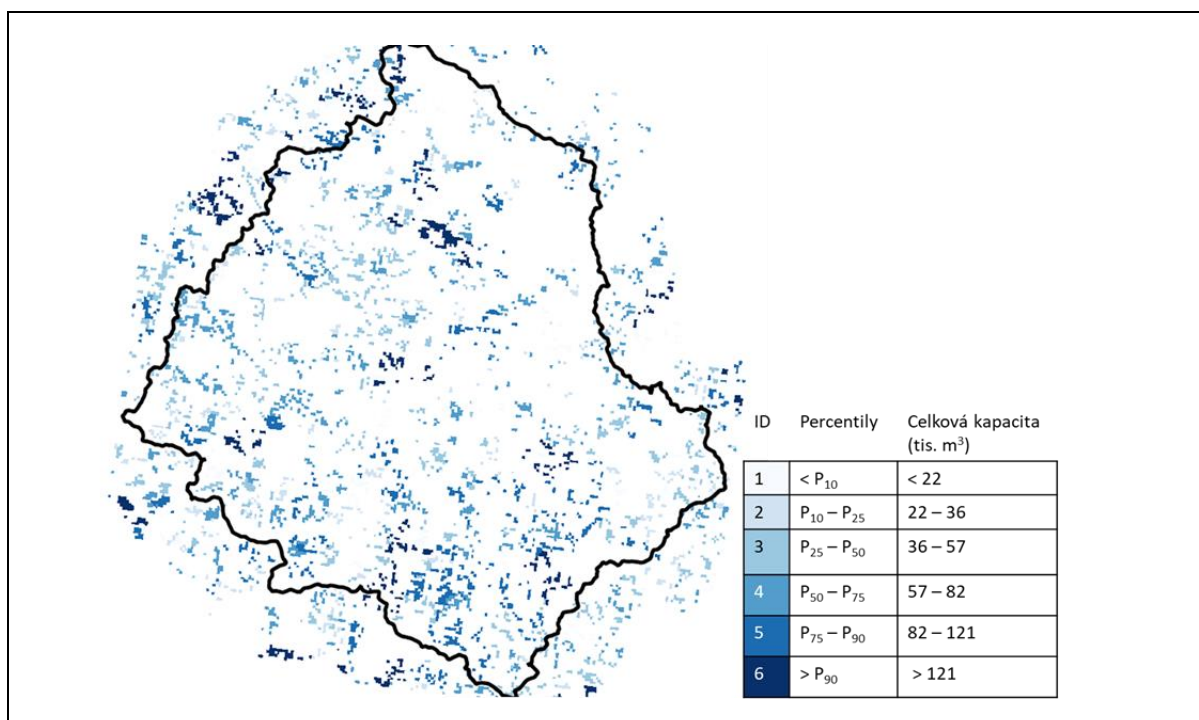


P 2.1 Popis údolí v modelovém souboru topografie před hydrologickou korekcí reprezentace popisu koryta v modulu MIKE HYDRO (nahore) a po korekci (dole) na příkladu lokality vodního díla Švihov a přítoků

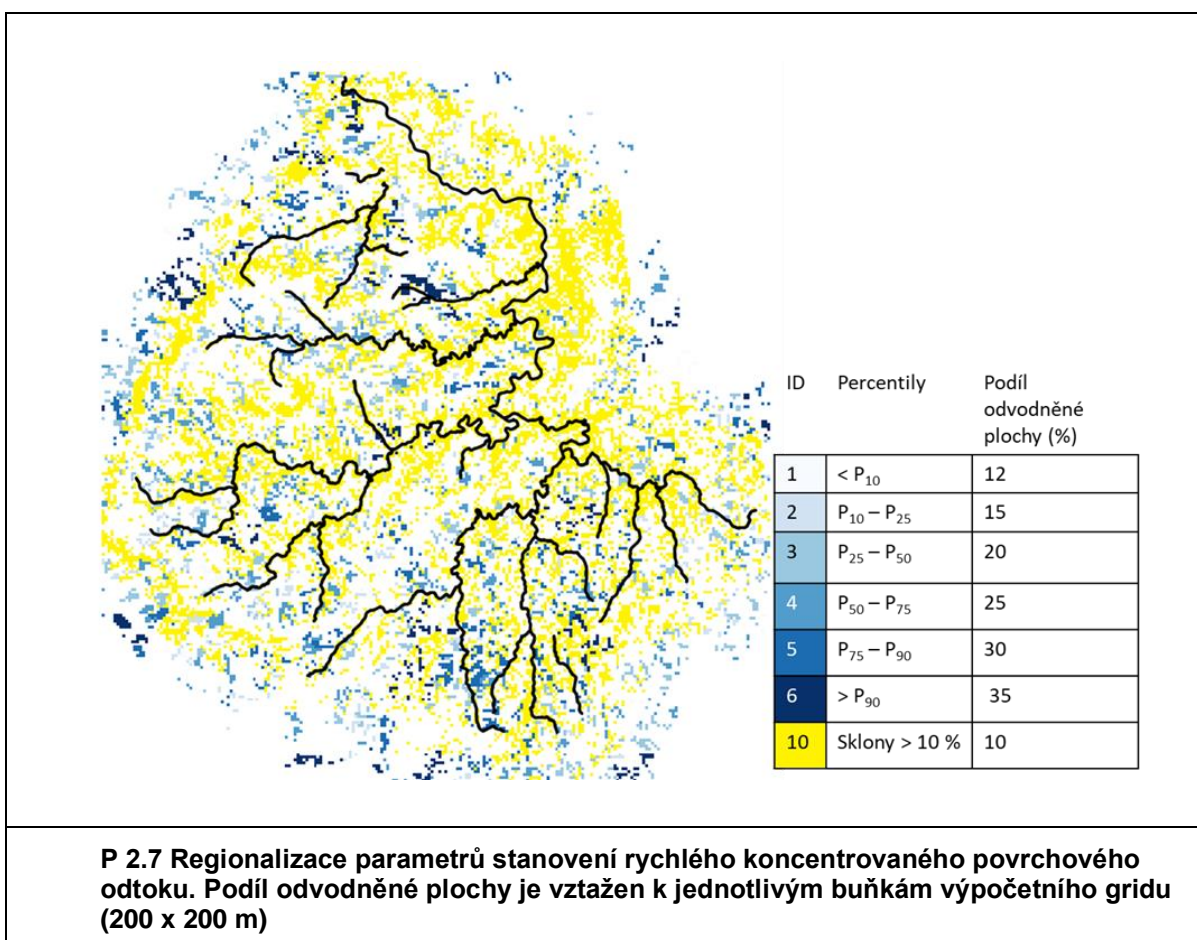
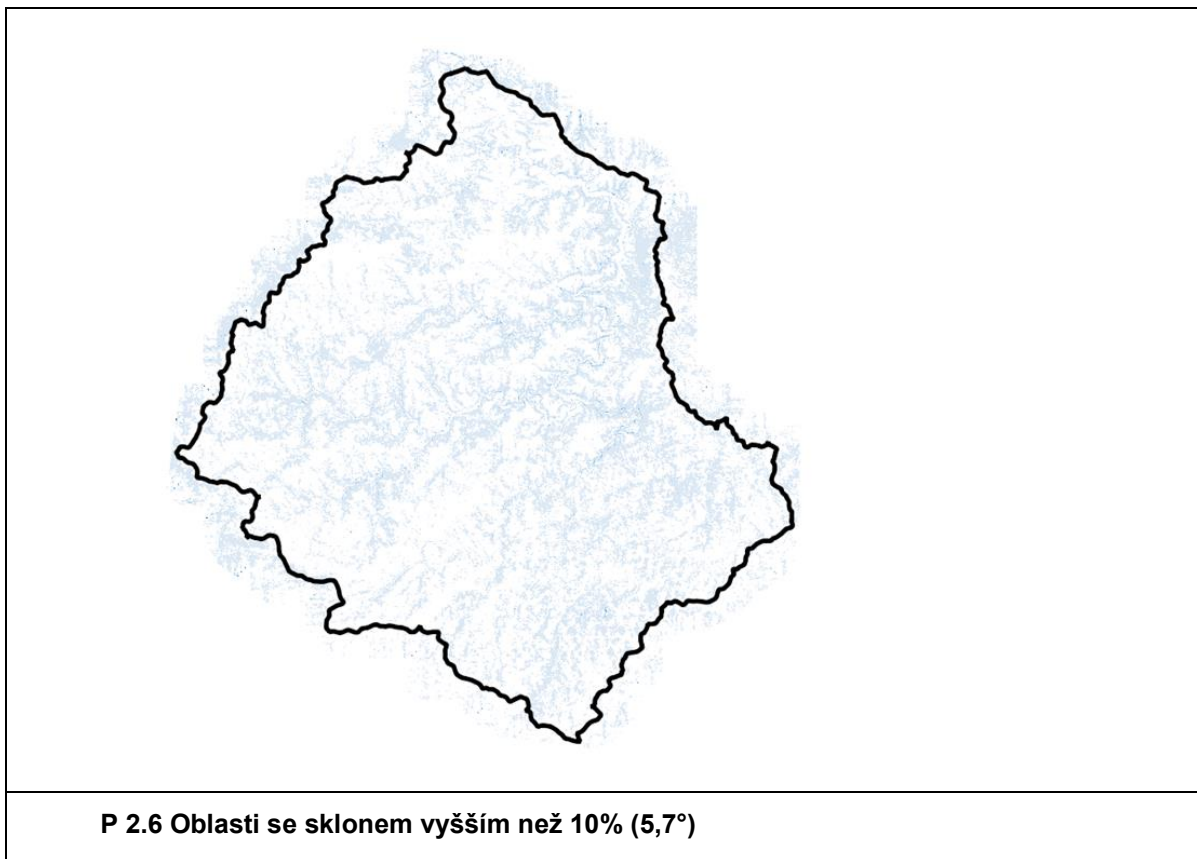




P 2.4 Lokalizace relevantních sond KPP v povodí řeky Želivky

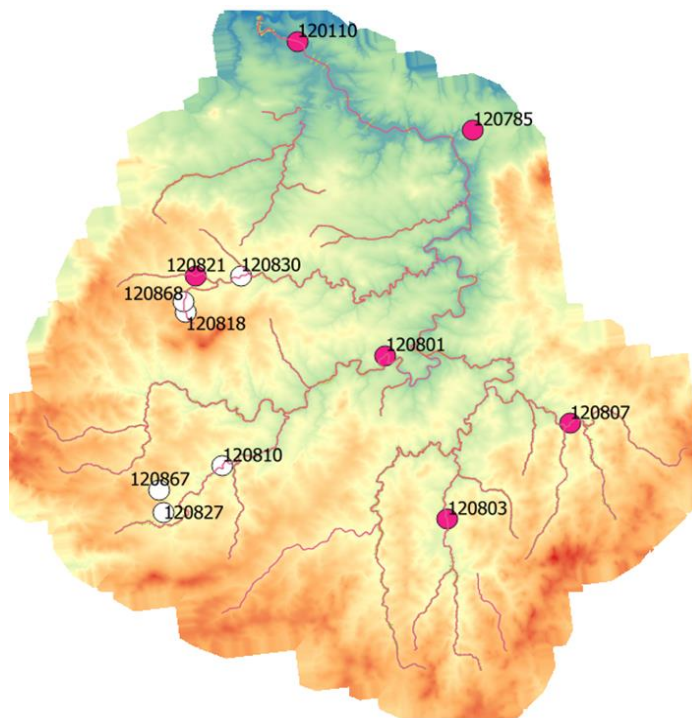


P 2.5 Klasifikace odvodněných ploch podle percentilů celkové kapacity. Hodnoty percentilů byly vypočteny z datové sady všech odvodněných ploch v povodí Želivky

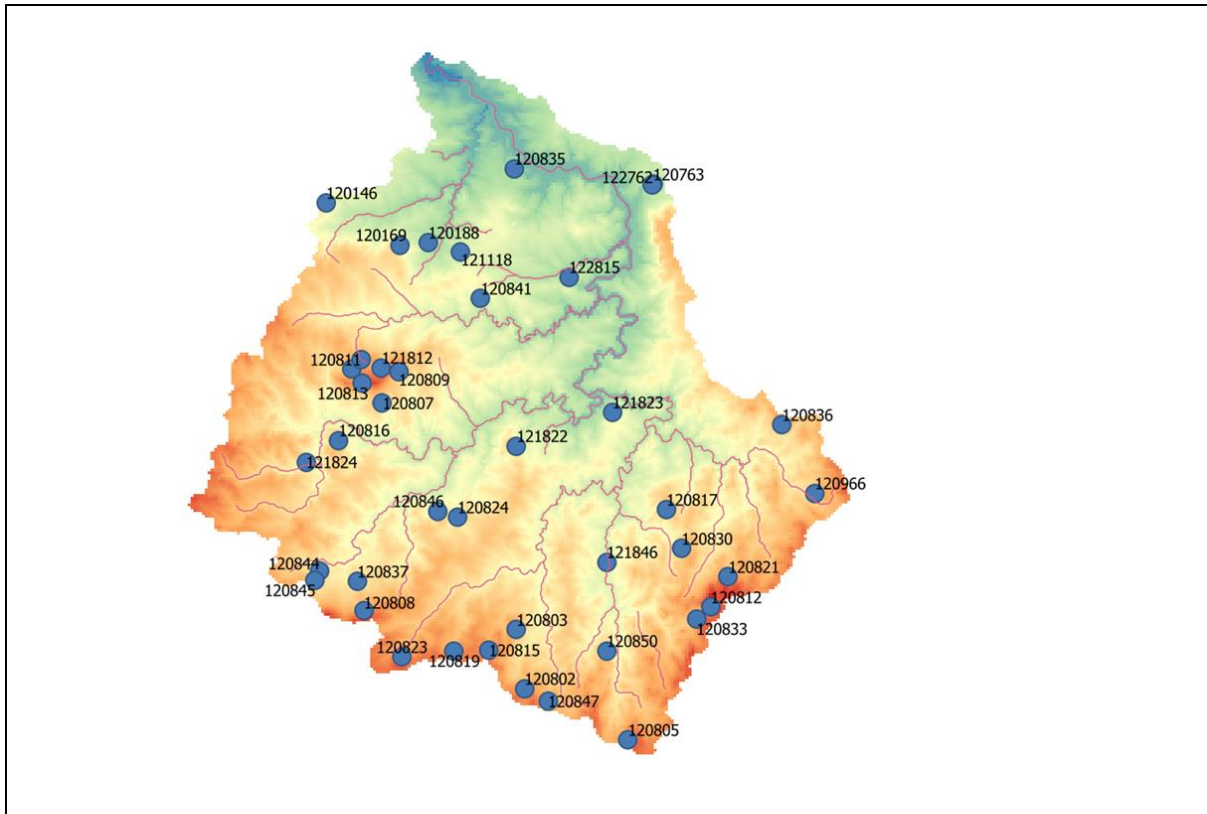




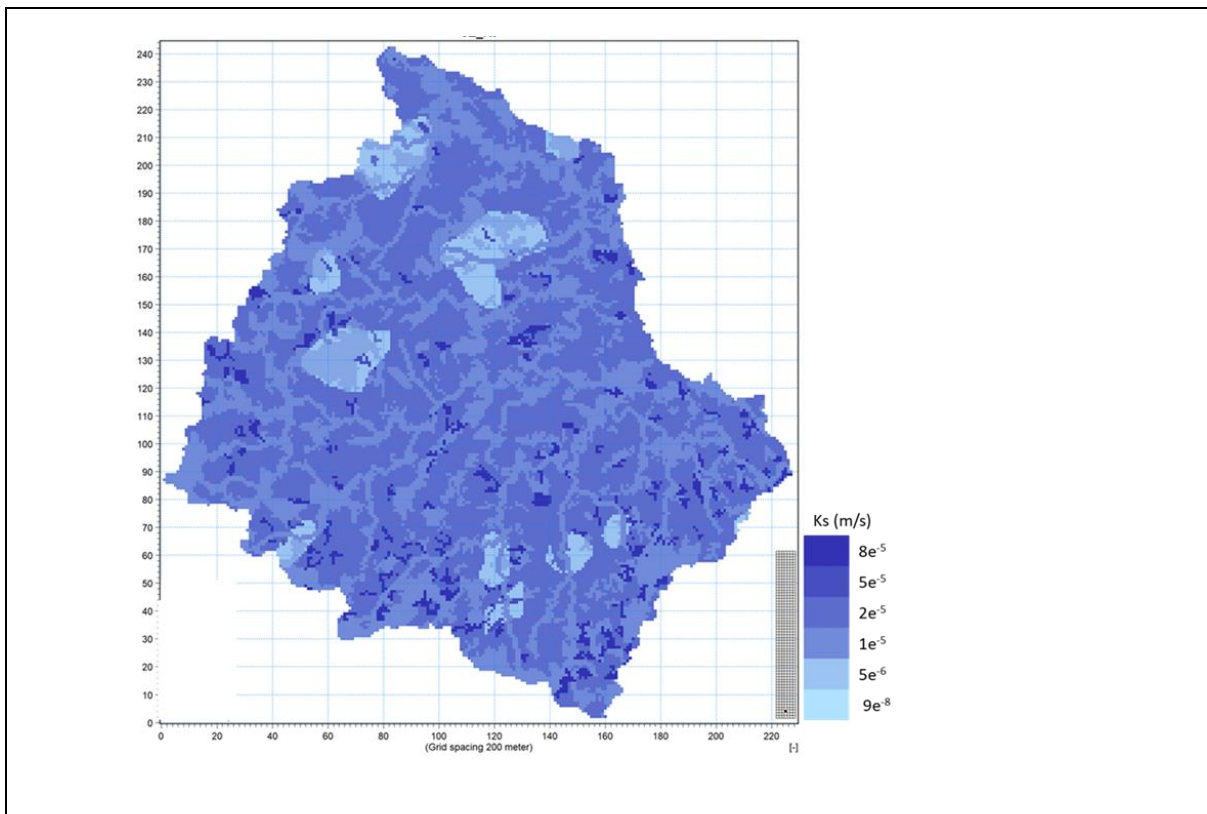
P 2.8 Vymezení drénovaných ploch (polygony ohraničení černou linií) pro odvádění odtoku do protínající linie vodního toku (Modrá linie)



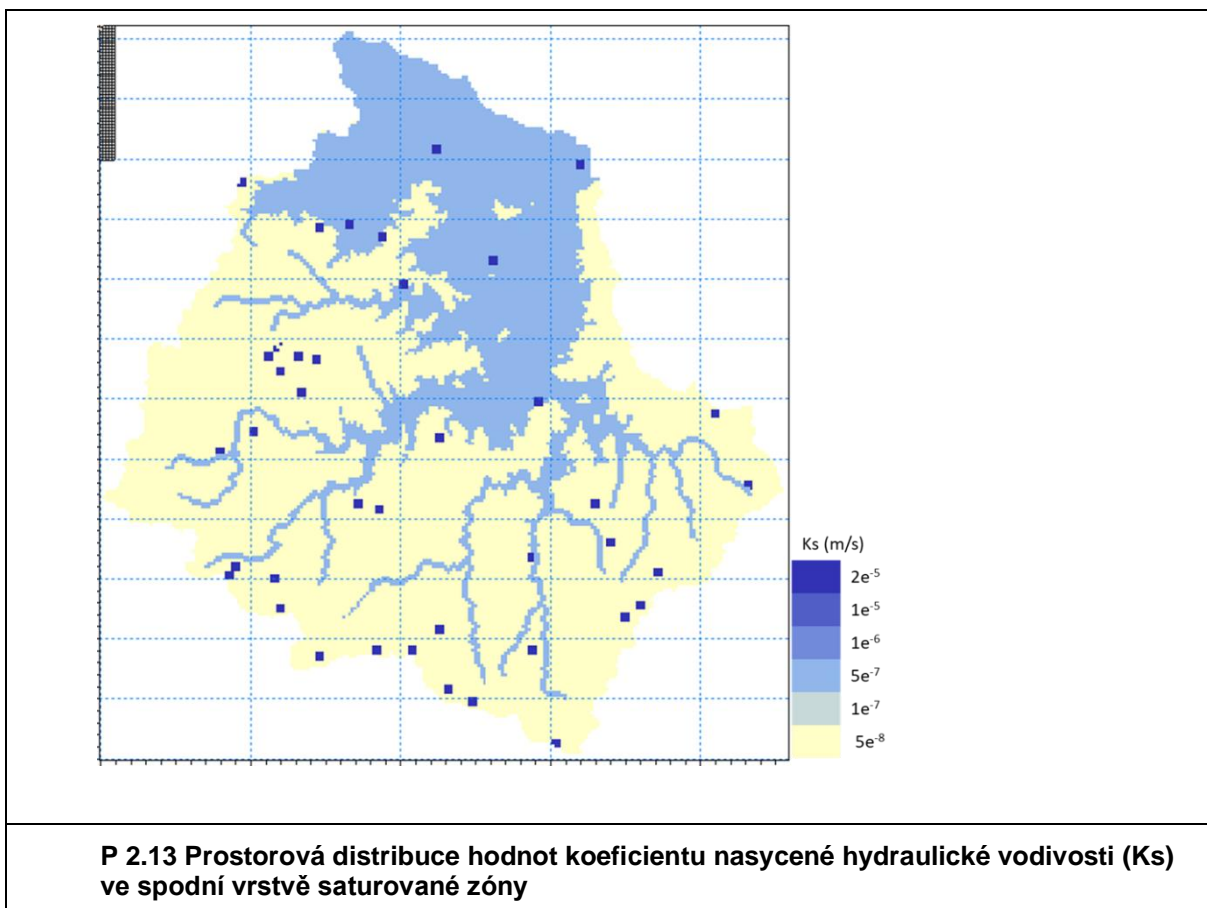
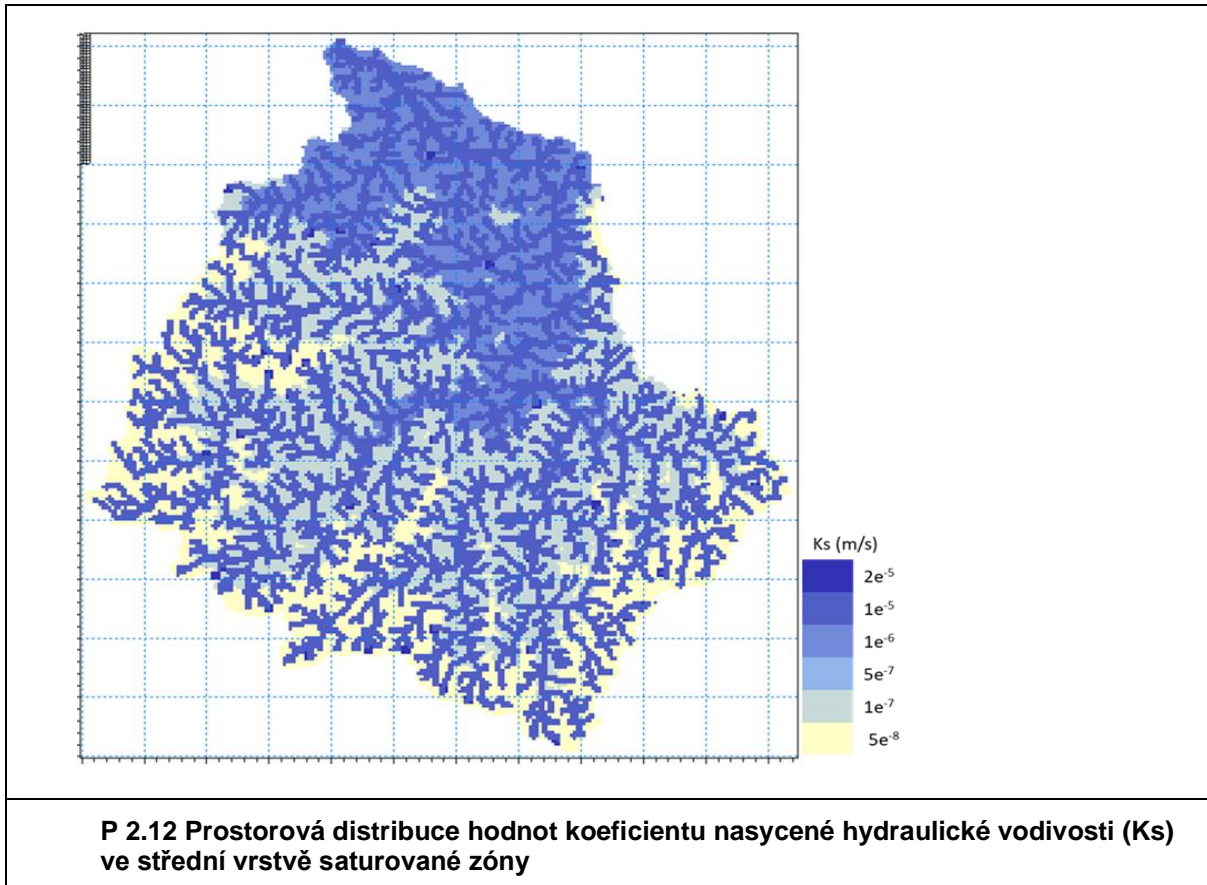
P 2.9 Body odběru povrchových vod. Červeně jsou označeny body zahrnuté v modelu povodí řeky Želivky

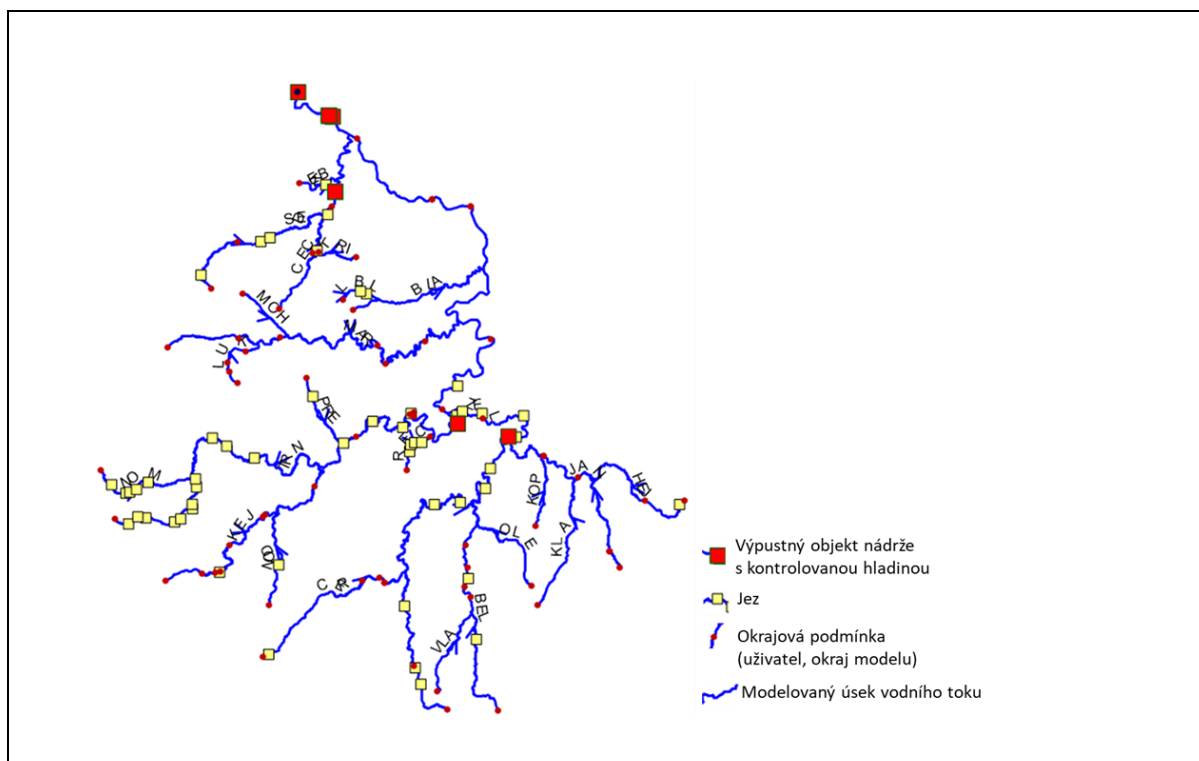
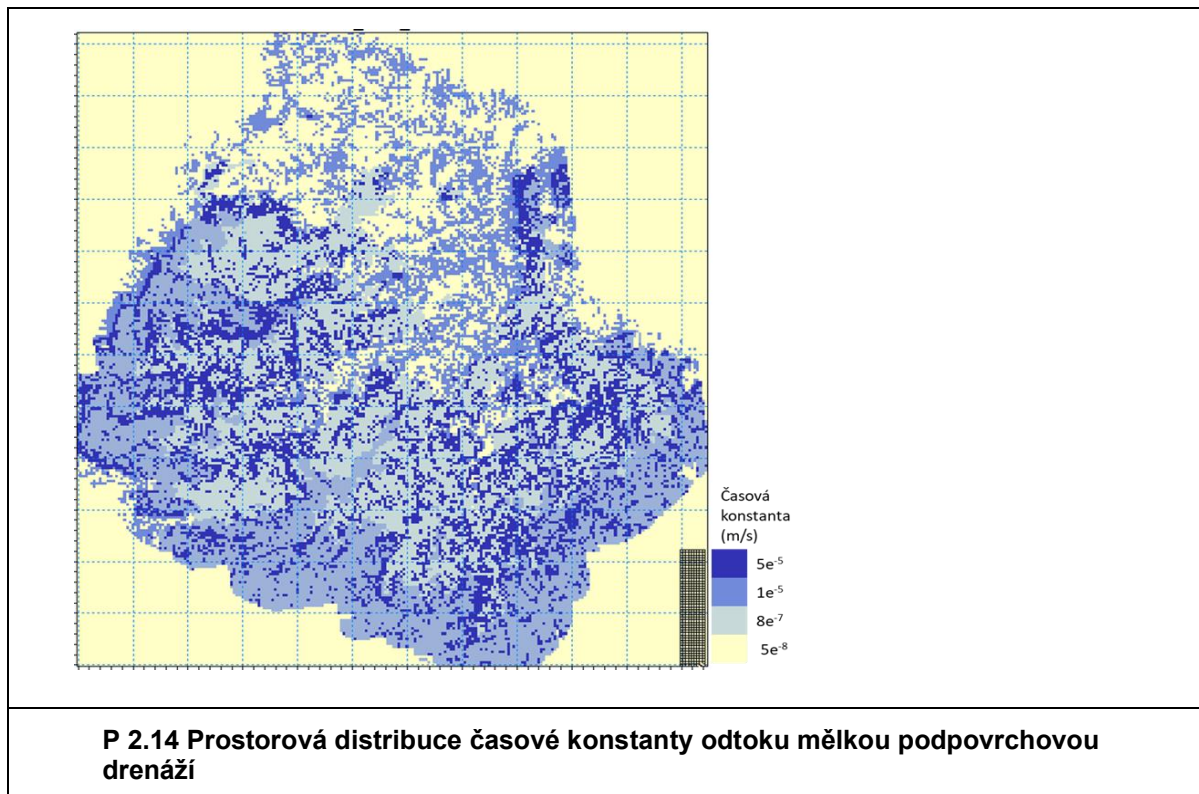


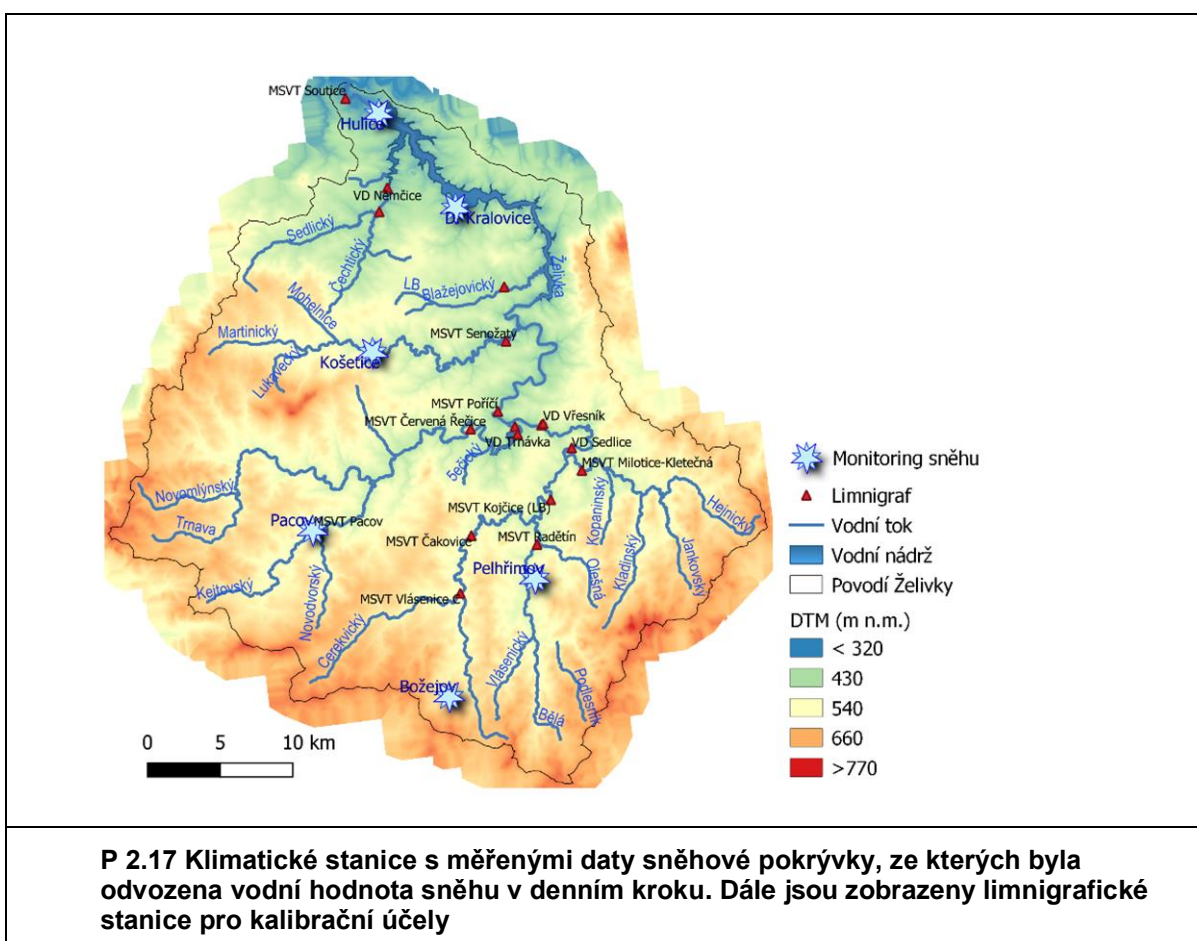
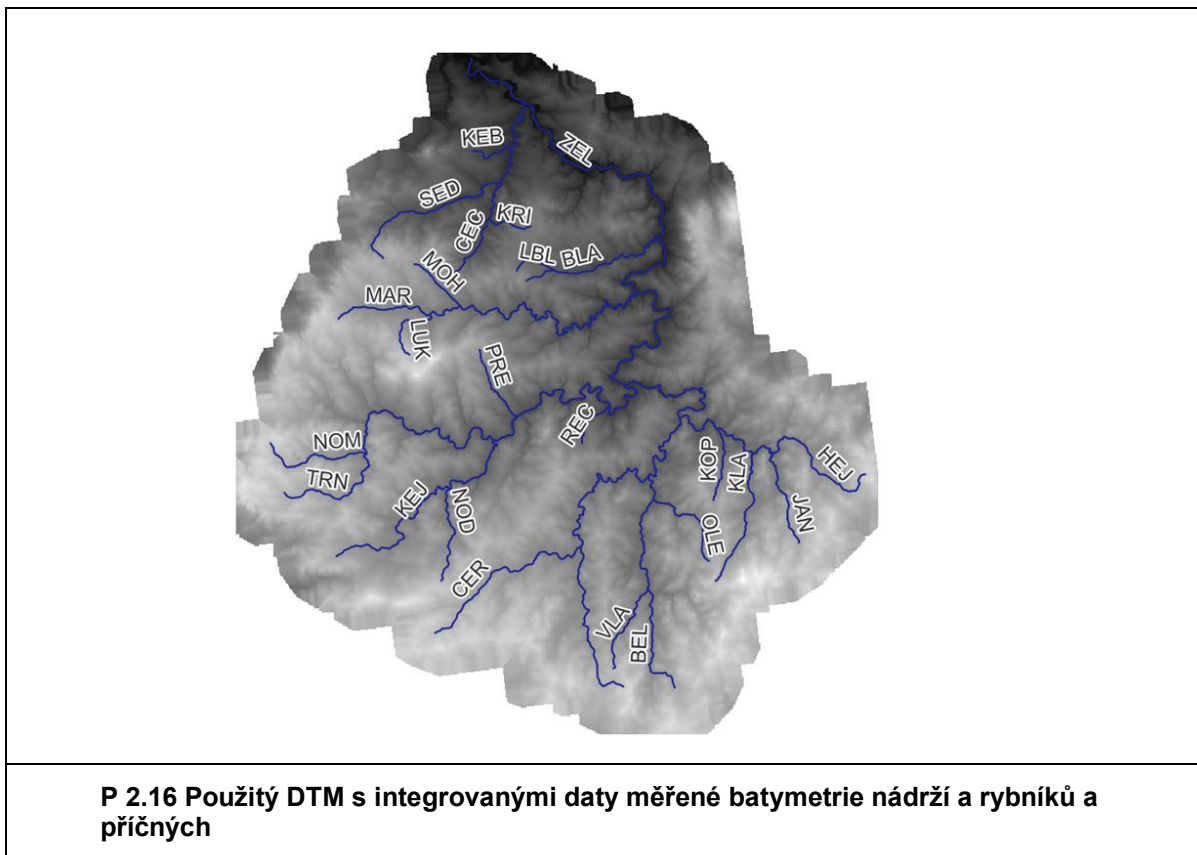
P 2.10 Body odběru podzemních vod zahrnuté v modelu povodí řeky Želivky

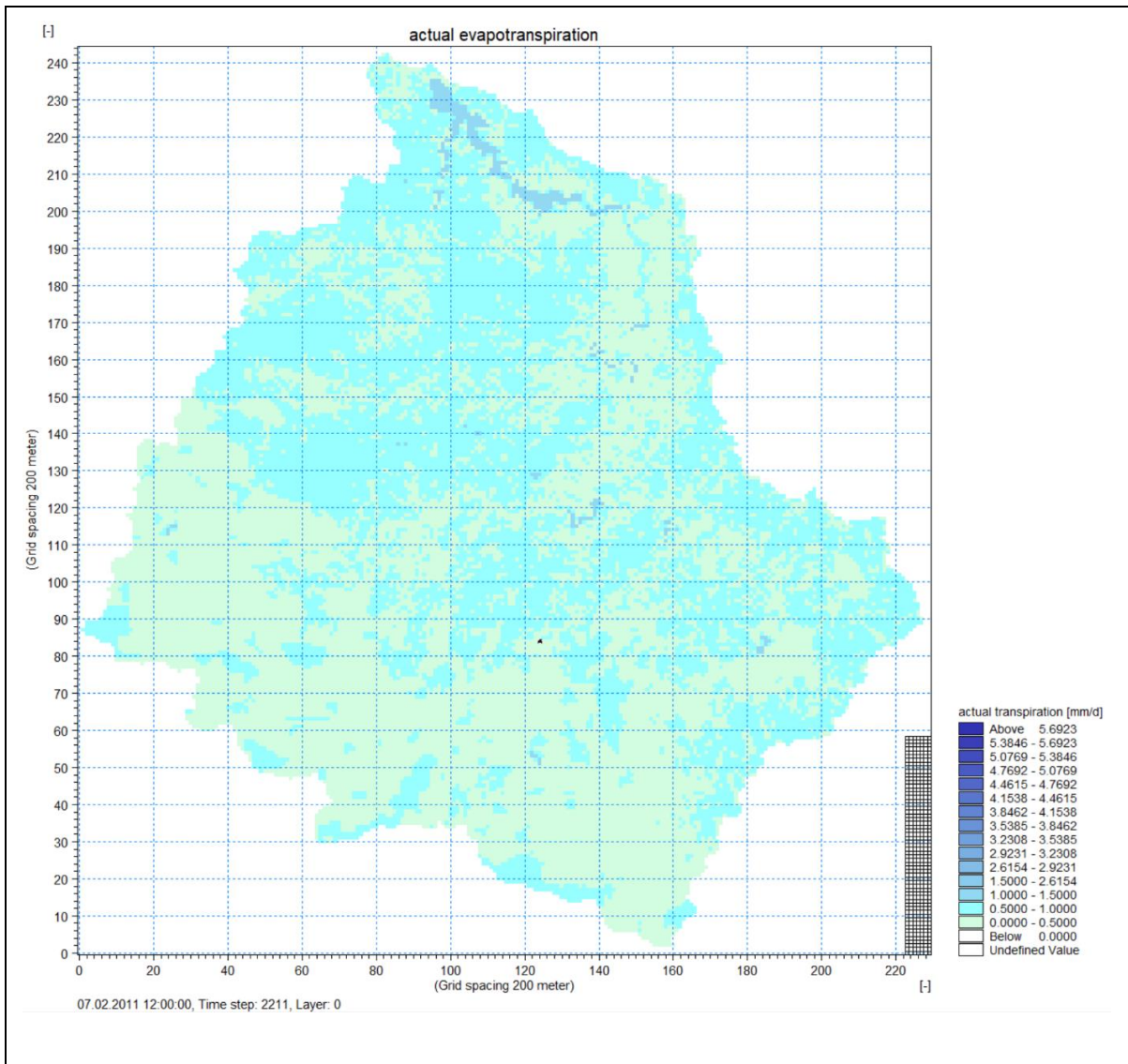


P 2.11 Prostorová distribuce hodnot koeficientu nasycené hydraulické vodivosti (Ks) v nejsvrchnější vrstvě saturované zóny

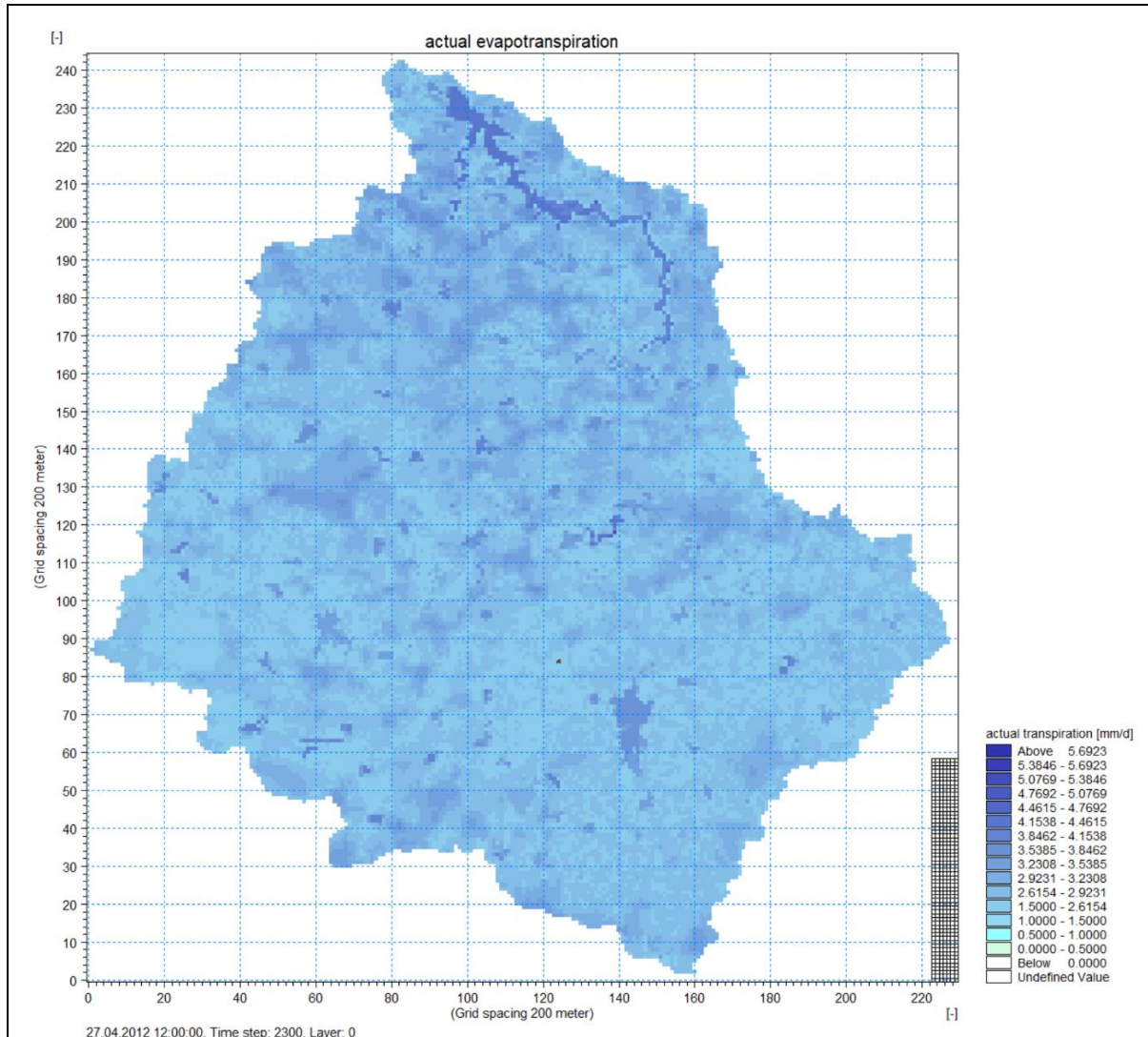




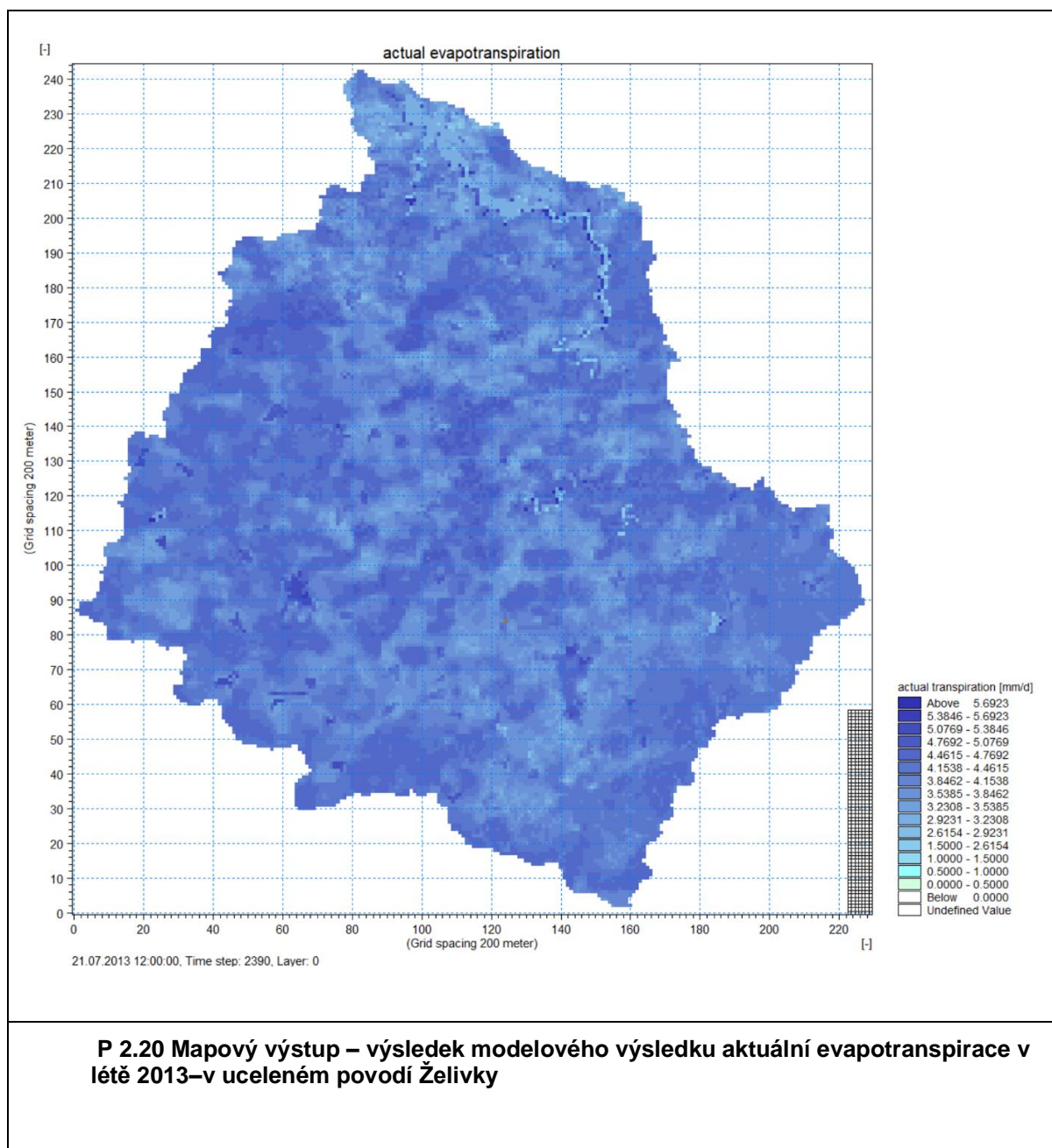


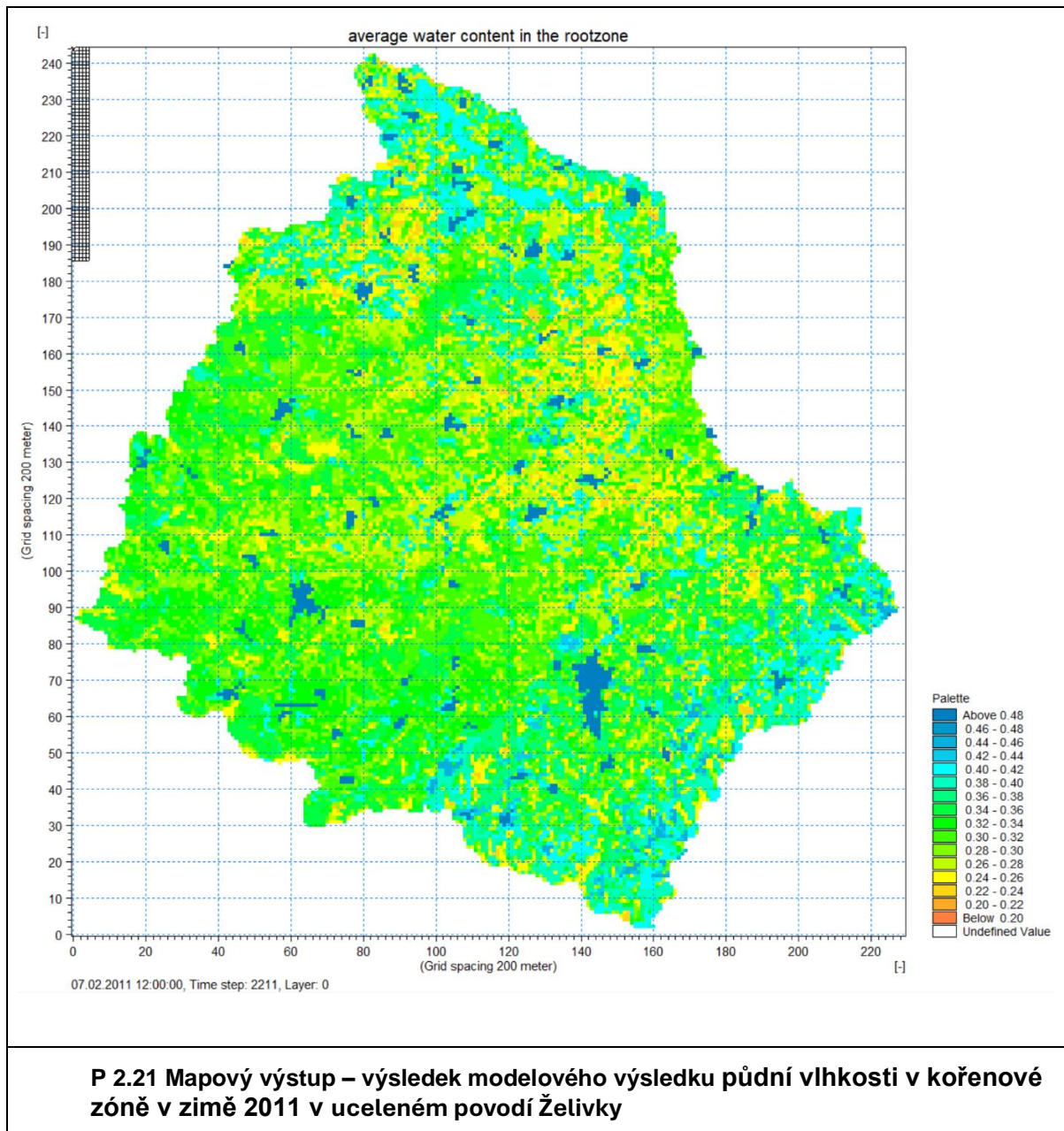


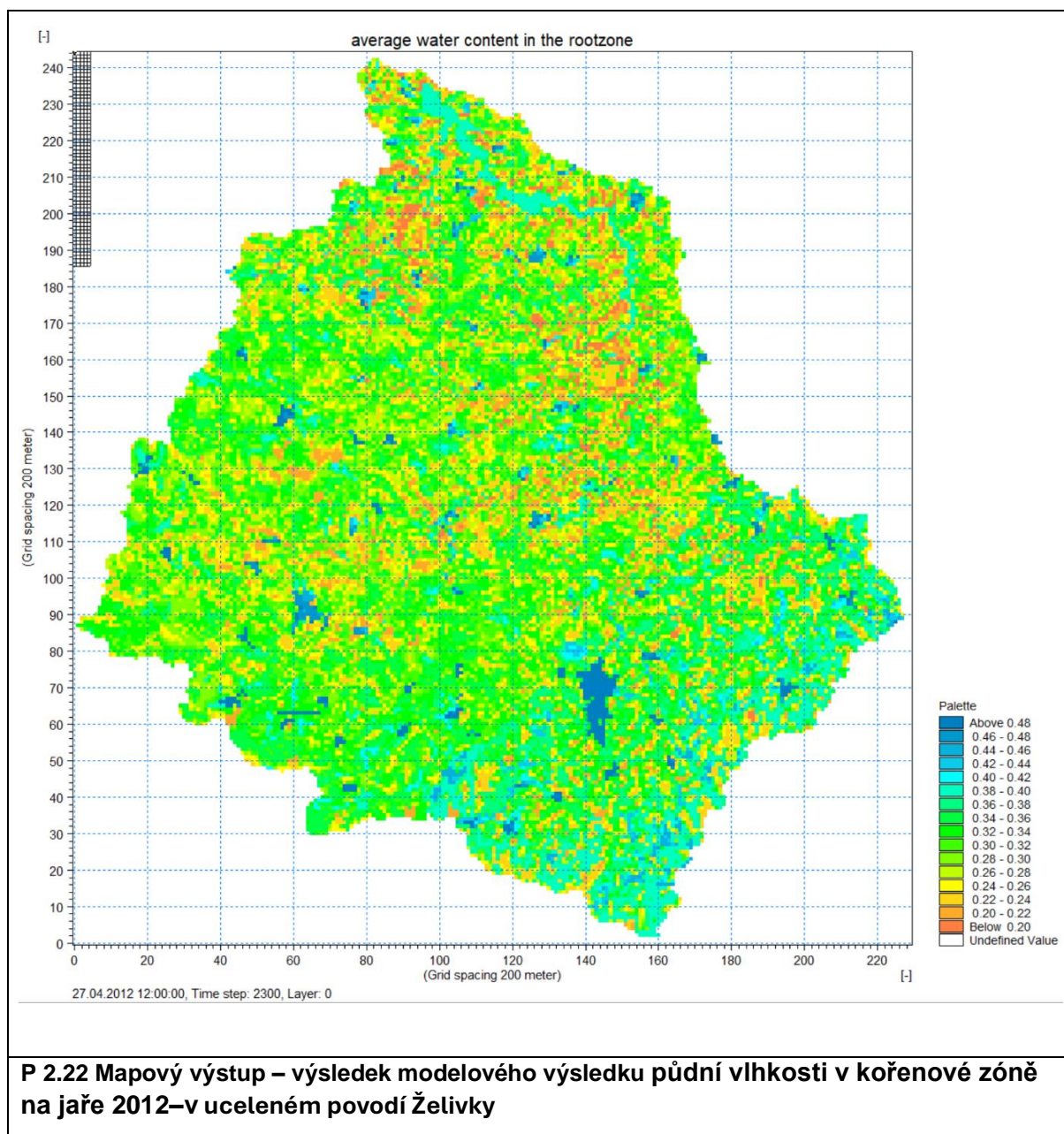
P 2.18 Mapy modelového výsledku – aktuální evapotranspirace v zimě 2011

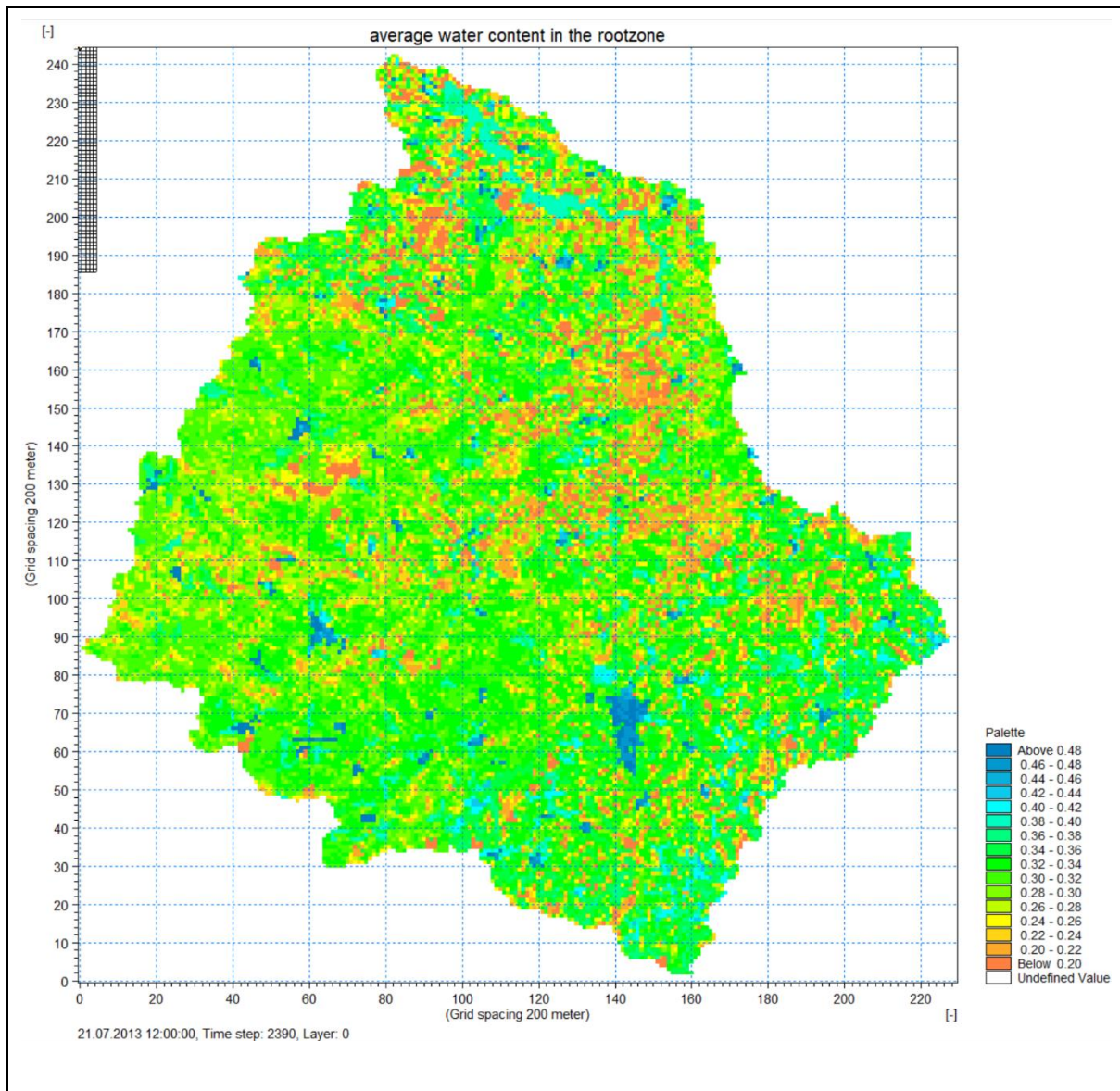


P 2.19 Mapový výstup – výsledek aktuální evapotranspirace na jaře 2012 v uceleném povodí Želivky

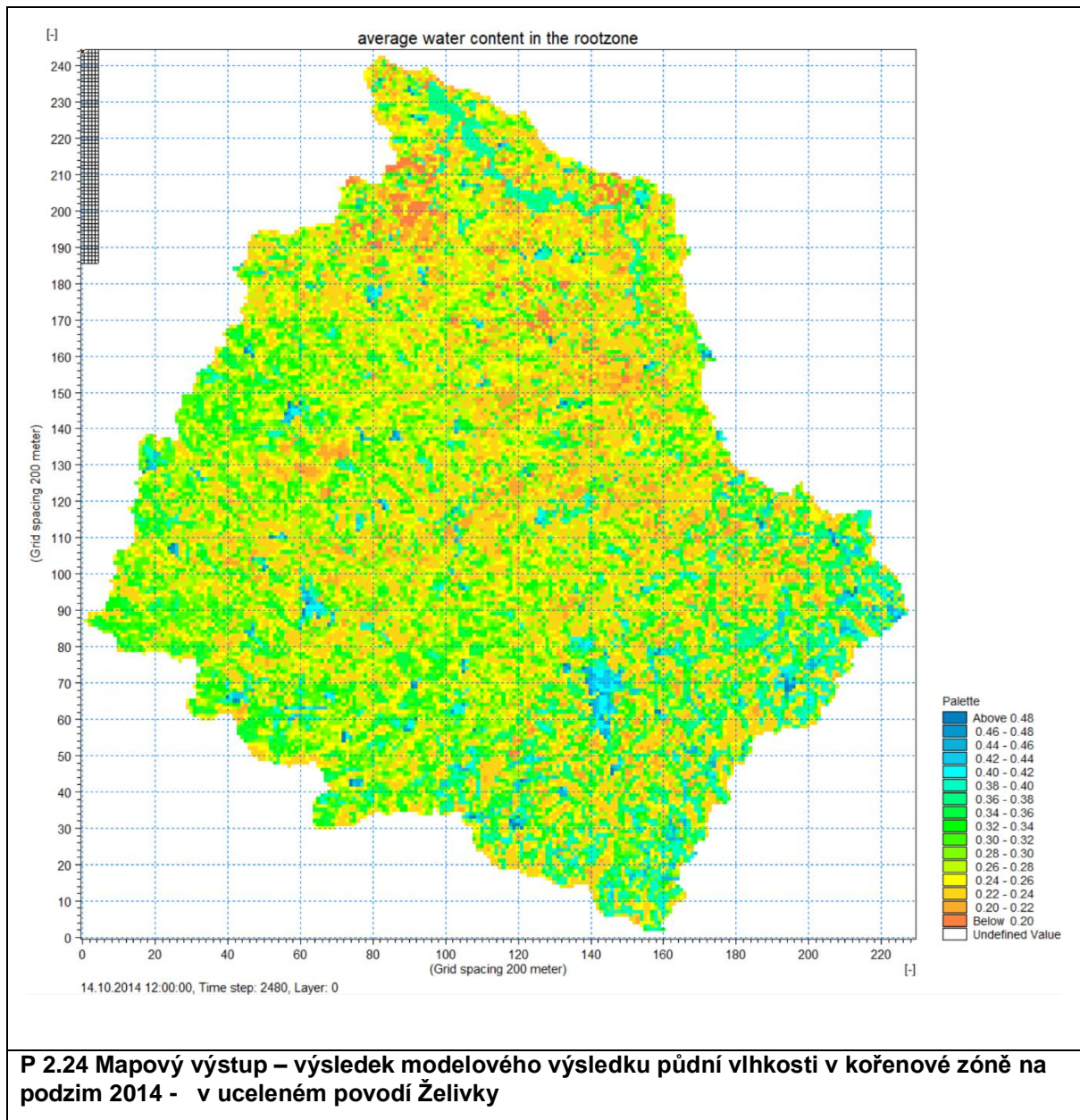


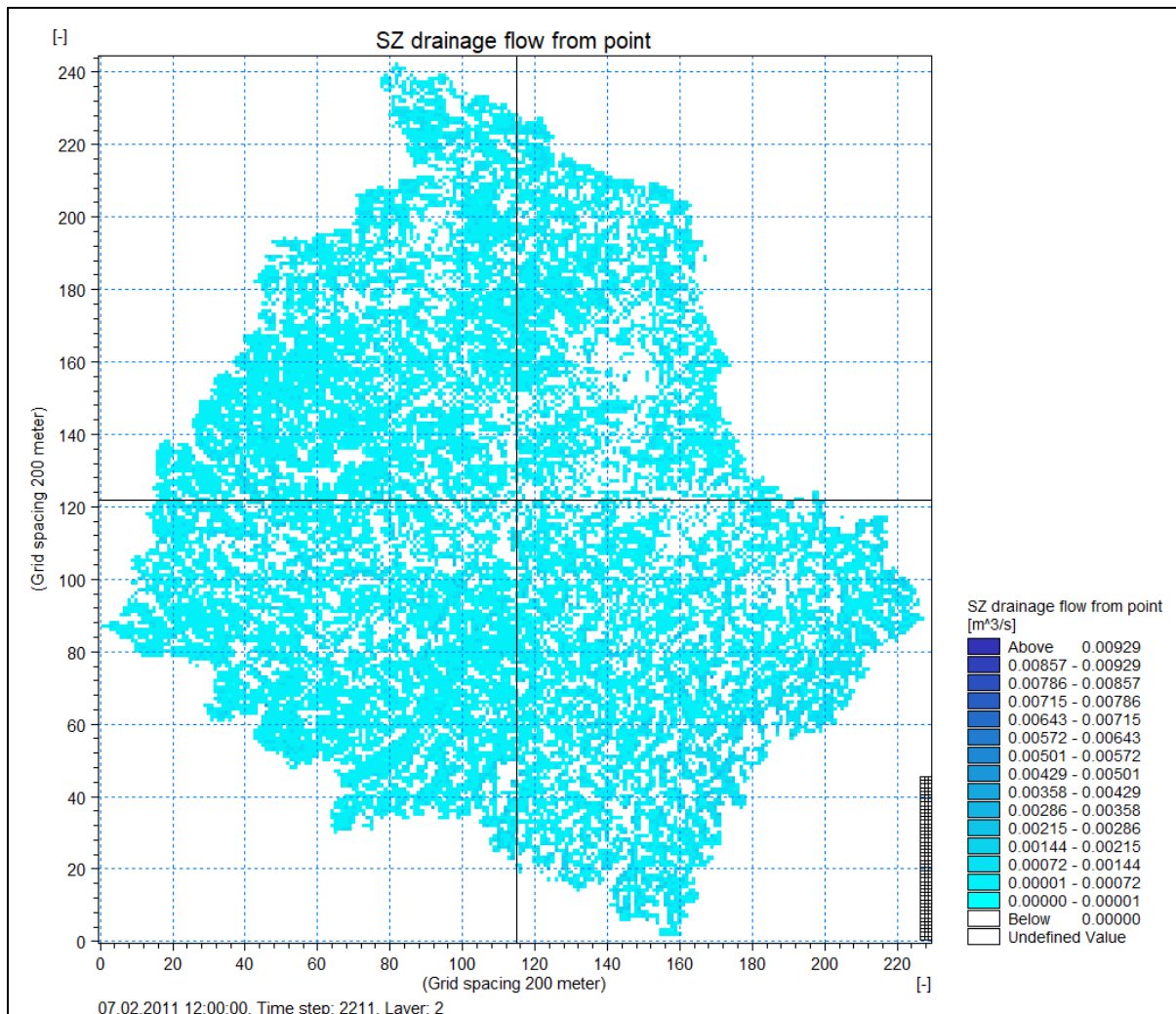




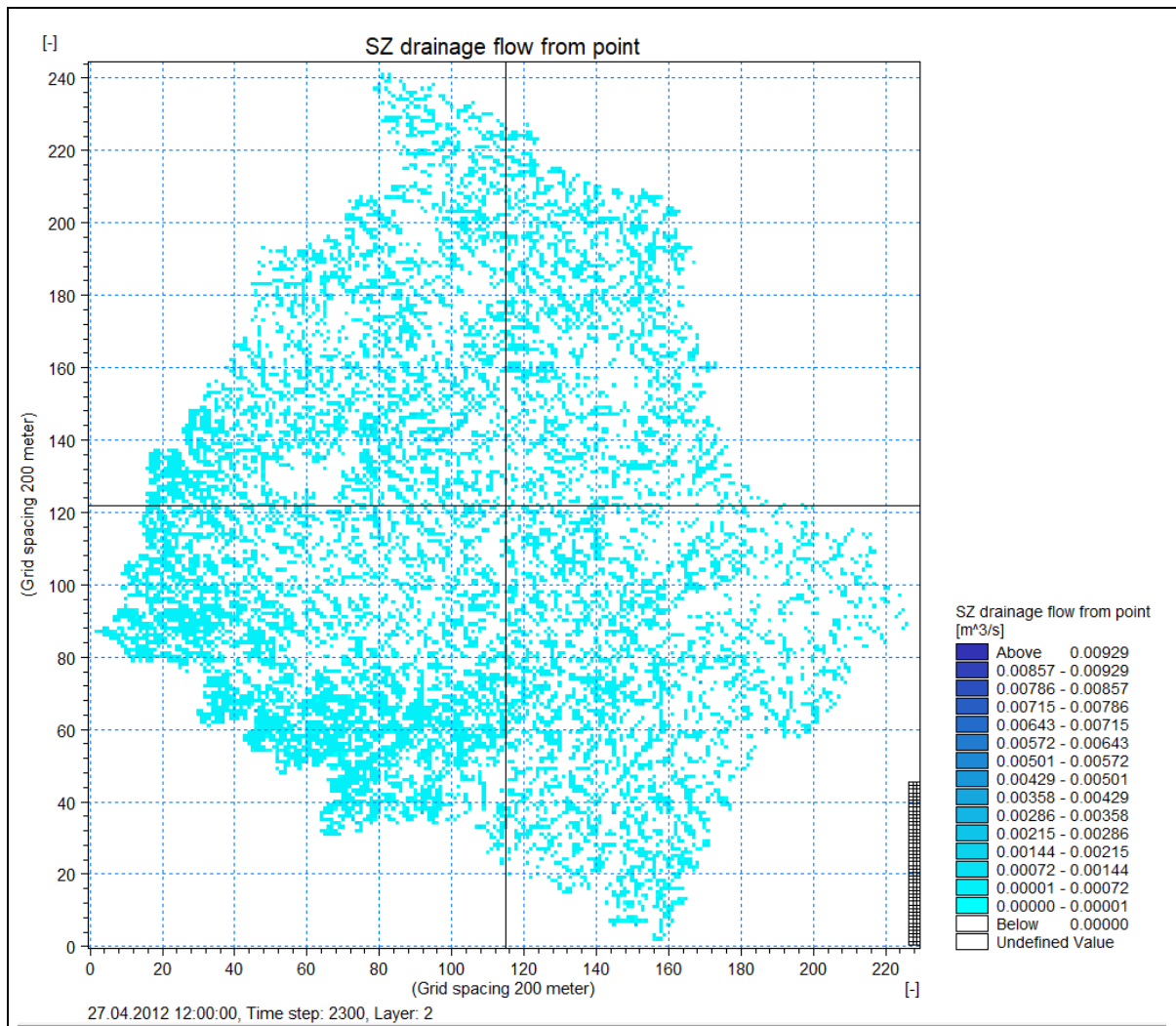


P 2.23 Mapový výstup – výsledek modelového výsledku půdní vlhkosti v kořenové zóně v létě 2013 - v uceleném povodí Želivky

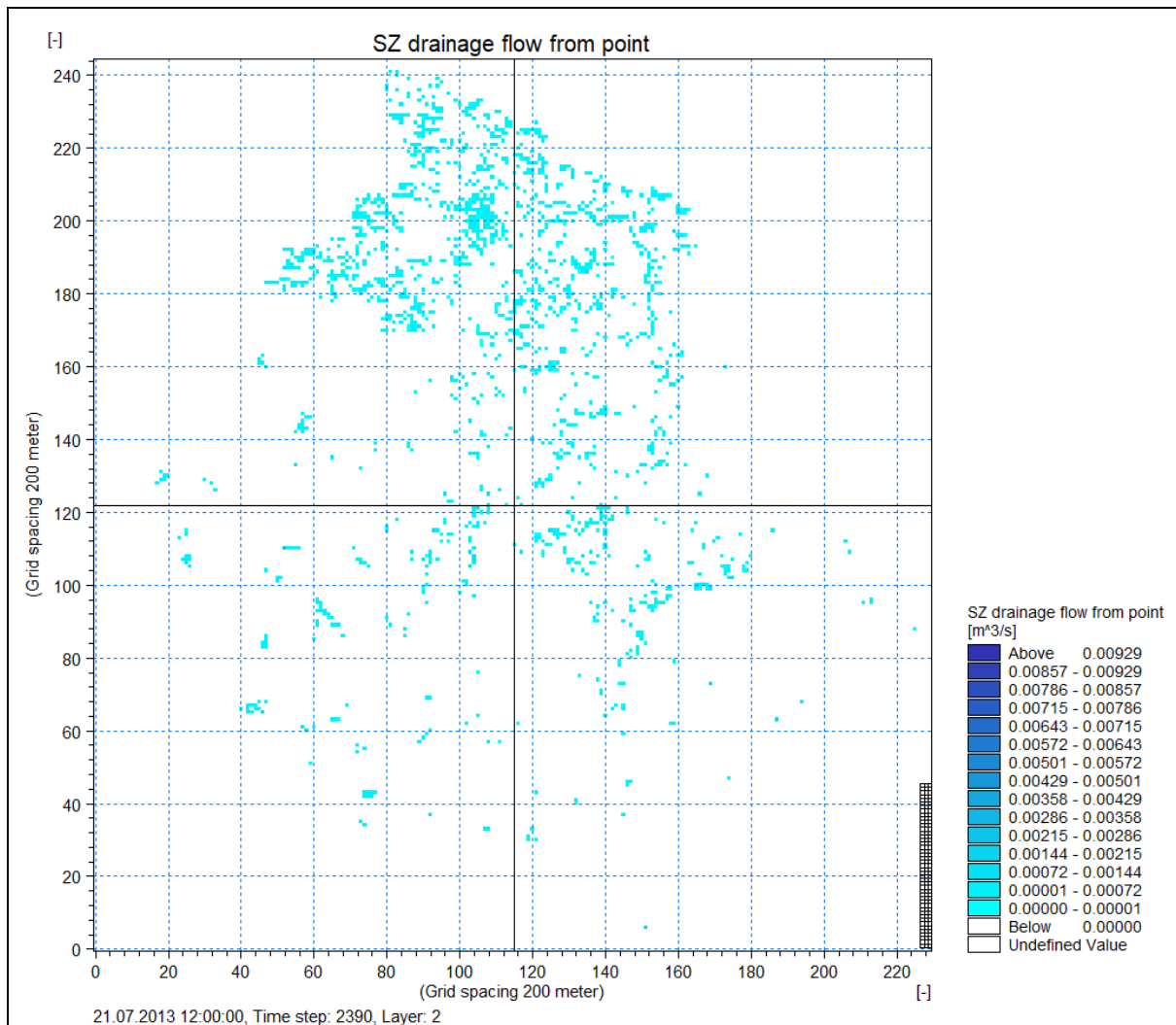




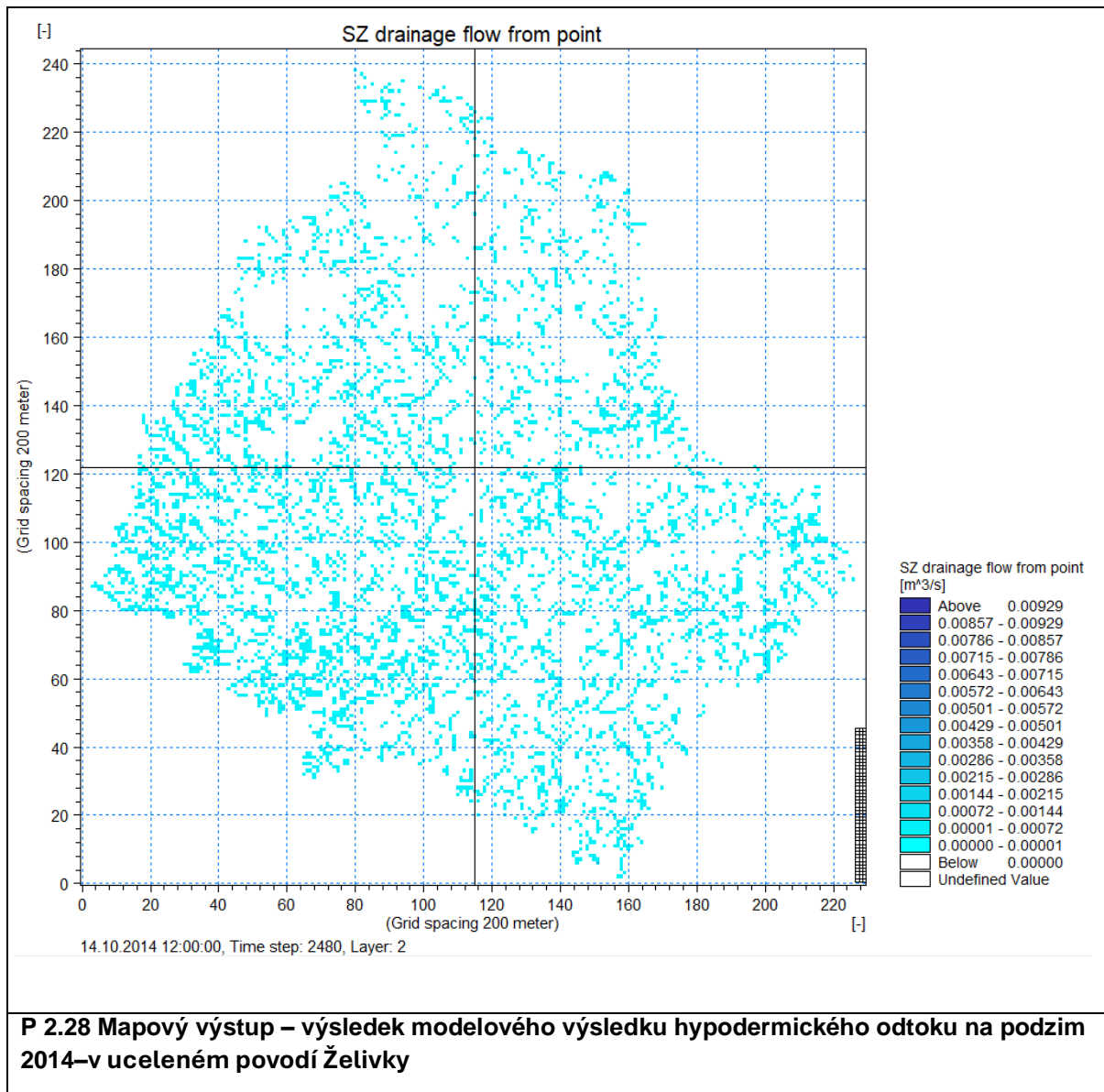
P 2.25 Mapový výstup – výsledek modelového výsledku hypodermického odtoku v zimě 2011–v uceleném povodí Želivky

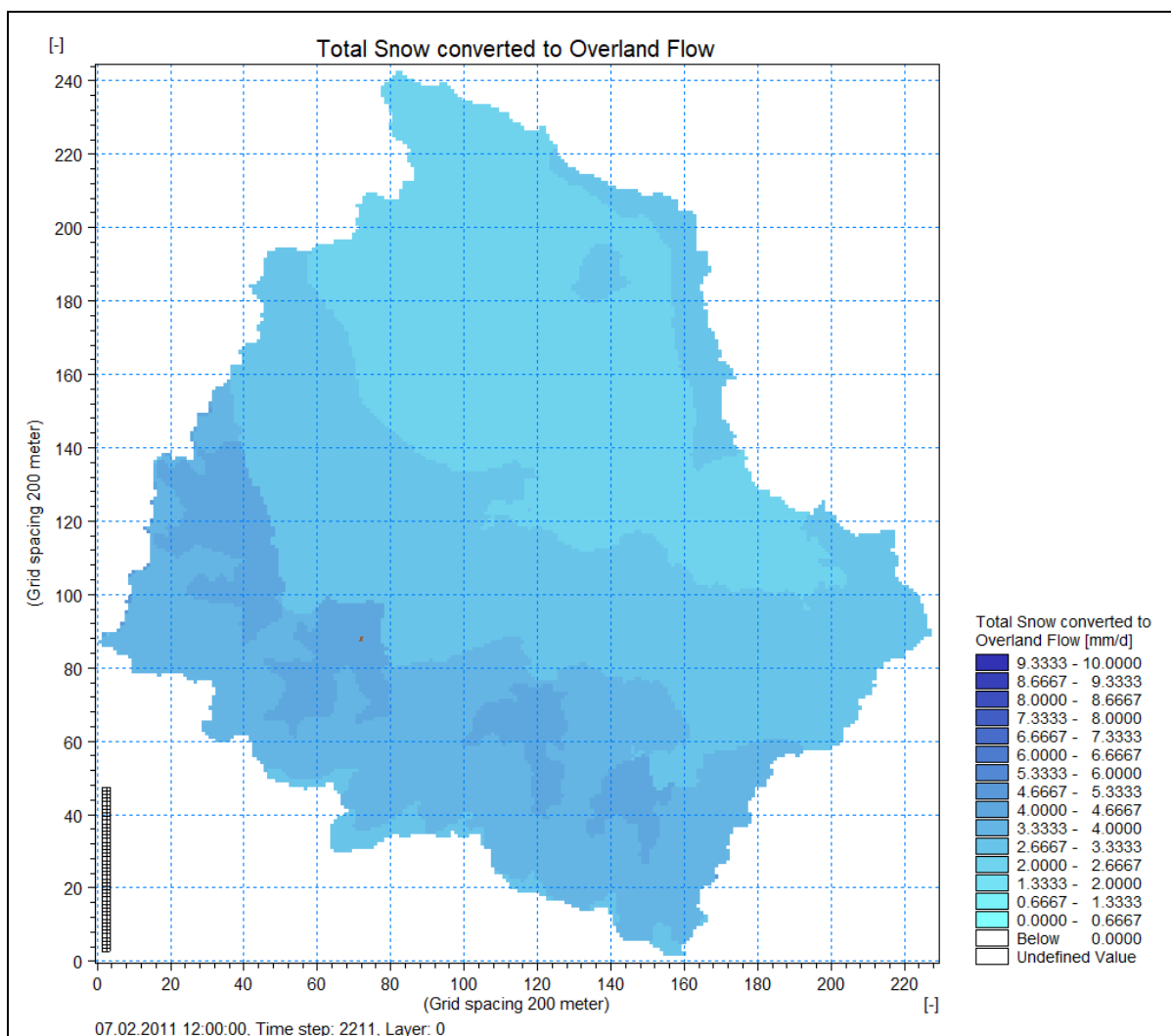


P 2.26 Mapový výstup – výsledek modelového výsledku hypodermického odtoku 2012 - na jaře – uceleném povodí Želivky



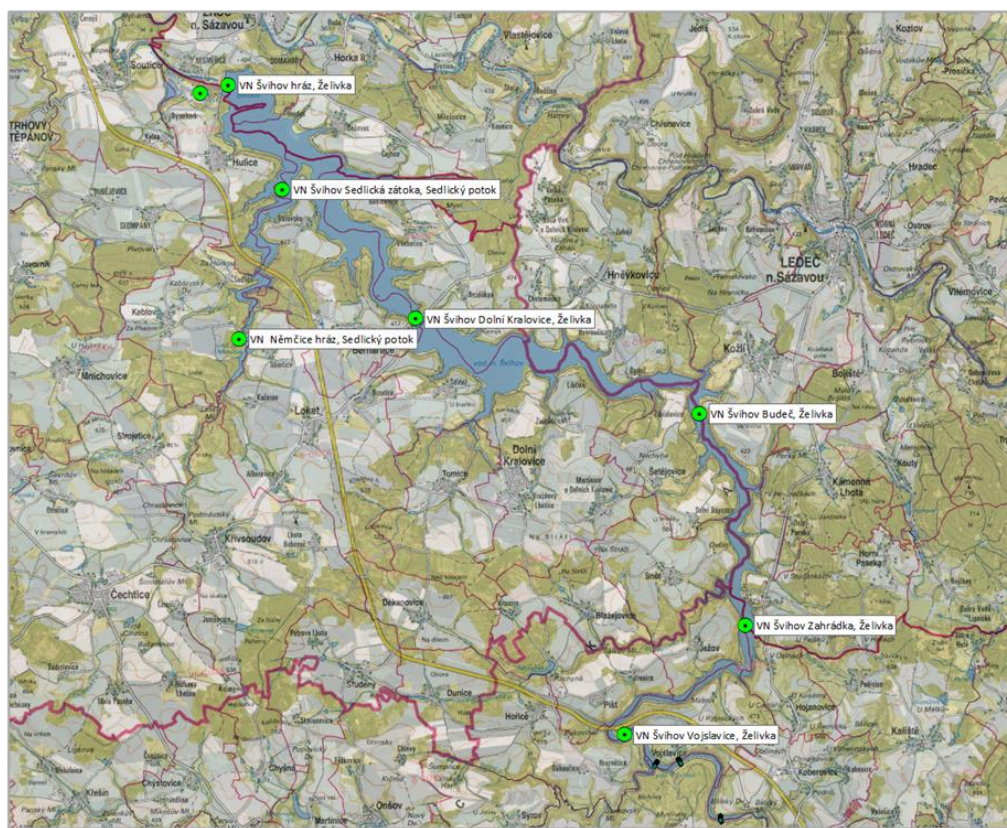
P 2.27 Mapový výstup – výsledek modelového výsledku hypodermického odtoku v létě 2013–v uceleném povodí Želivky



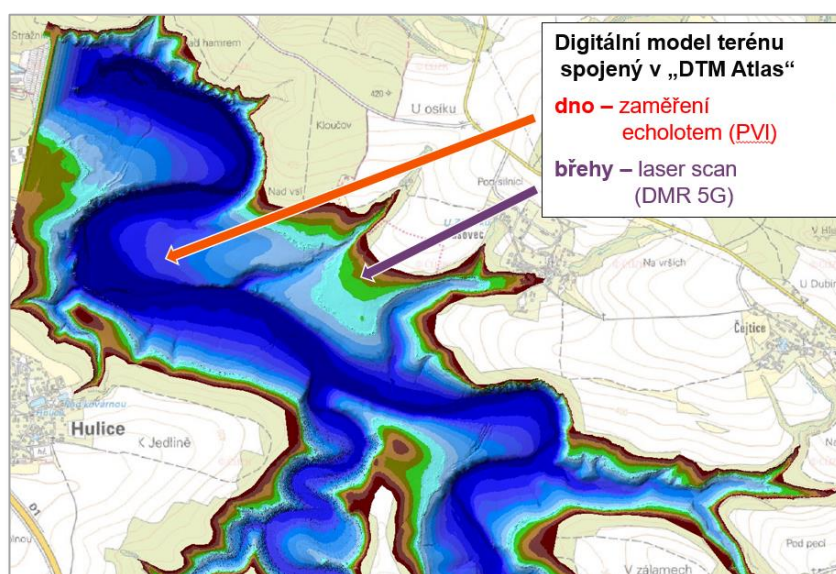


P 2.29 Mapový výstup – výsledek modelového výsledku tání zásoby sněhu do odtoku – zima 2011–v uceleném povodí Želivky

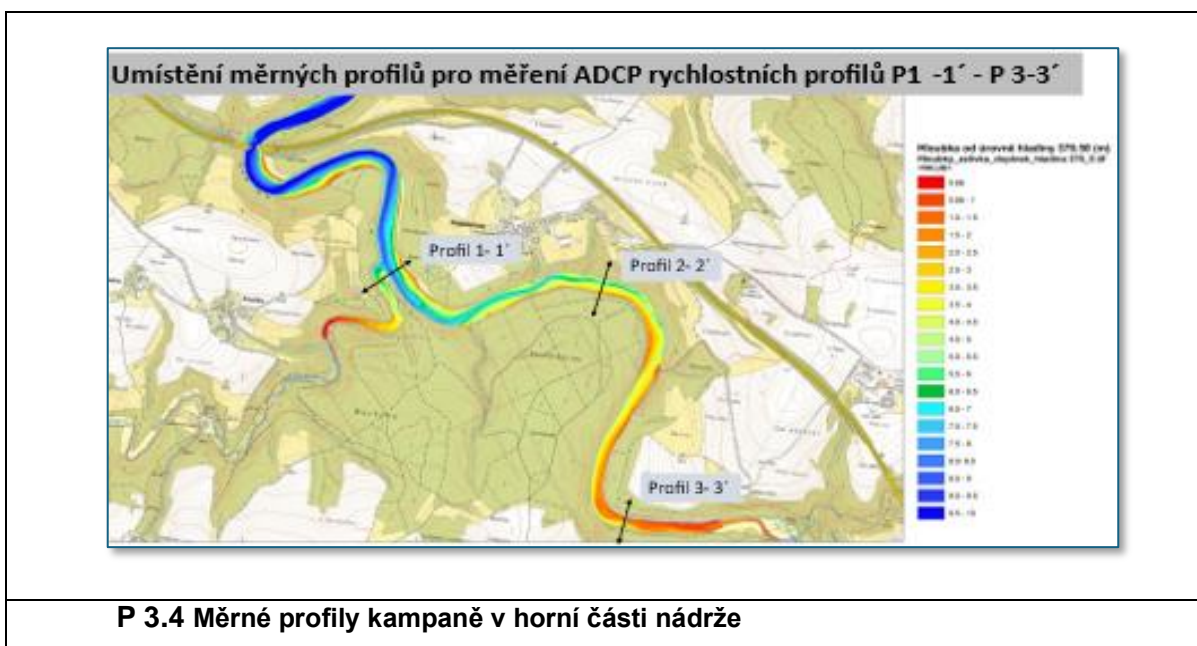
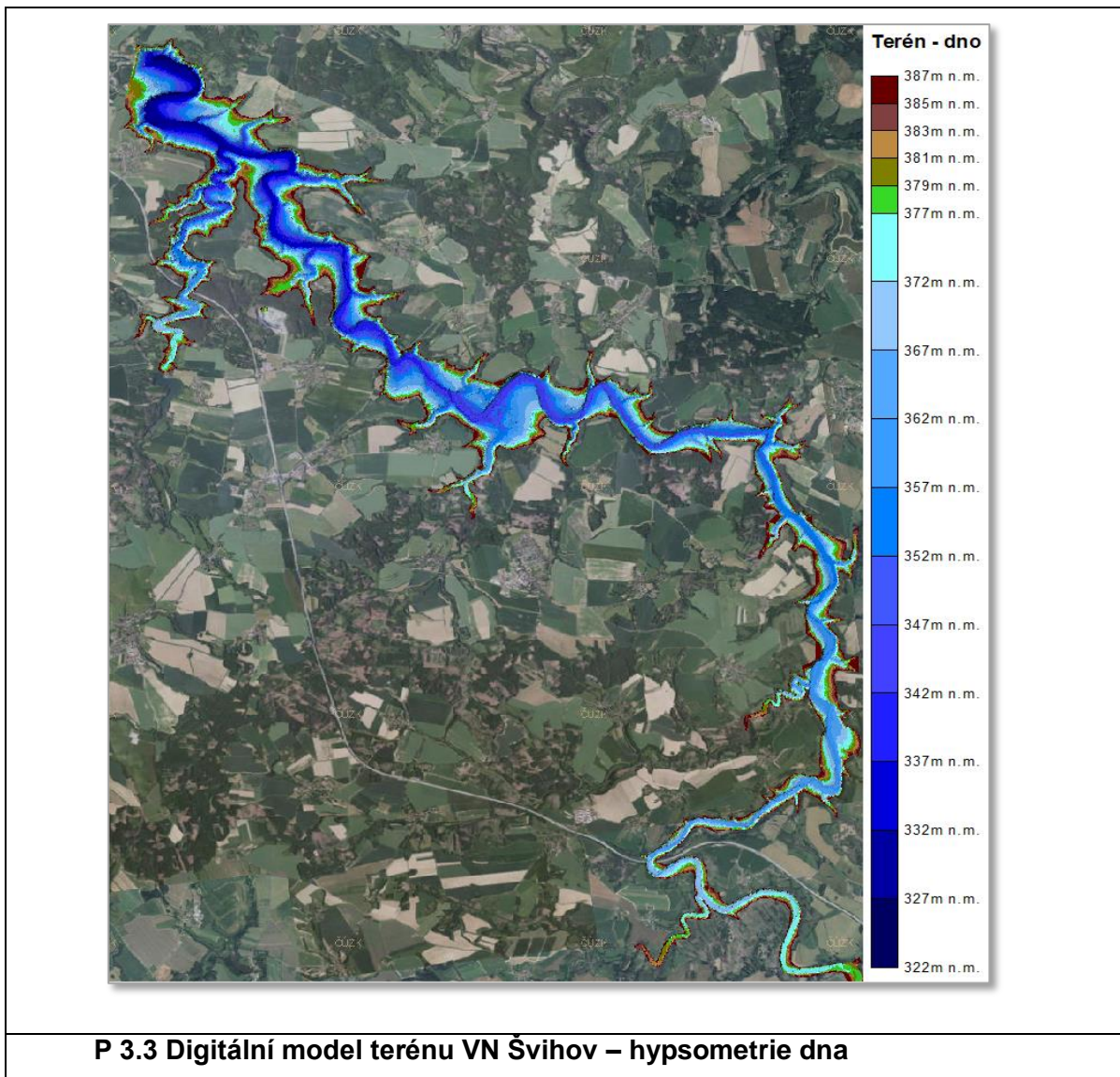
3. Hydrodynamický simulační model 3D nádrže Švihov v systému M3 – přílohy

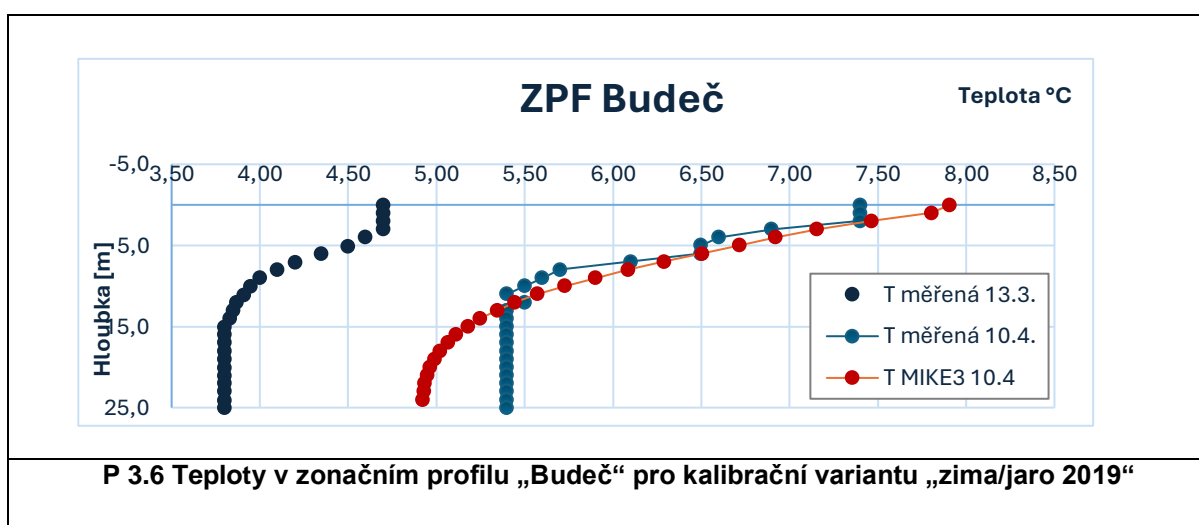
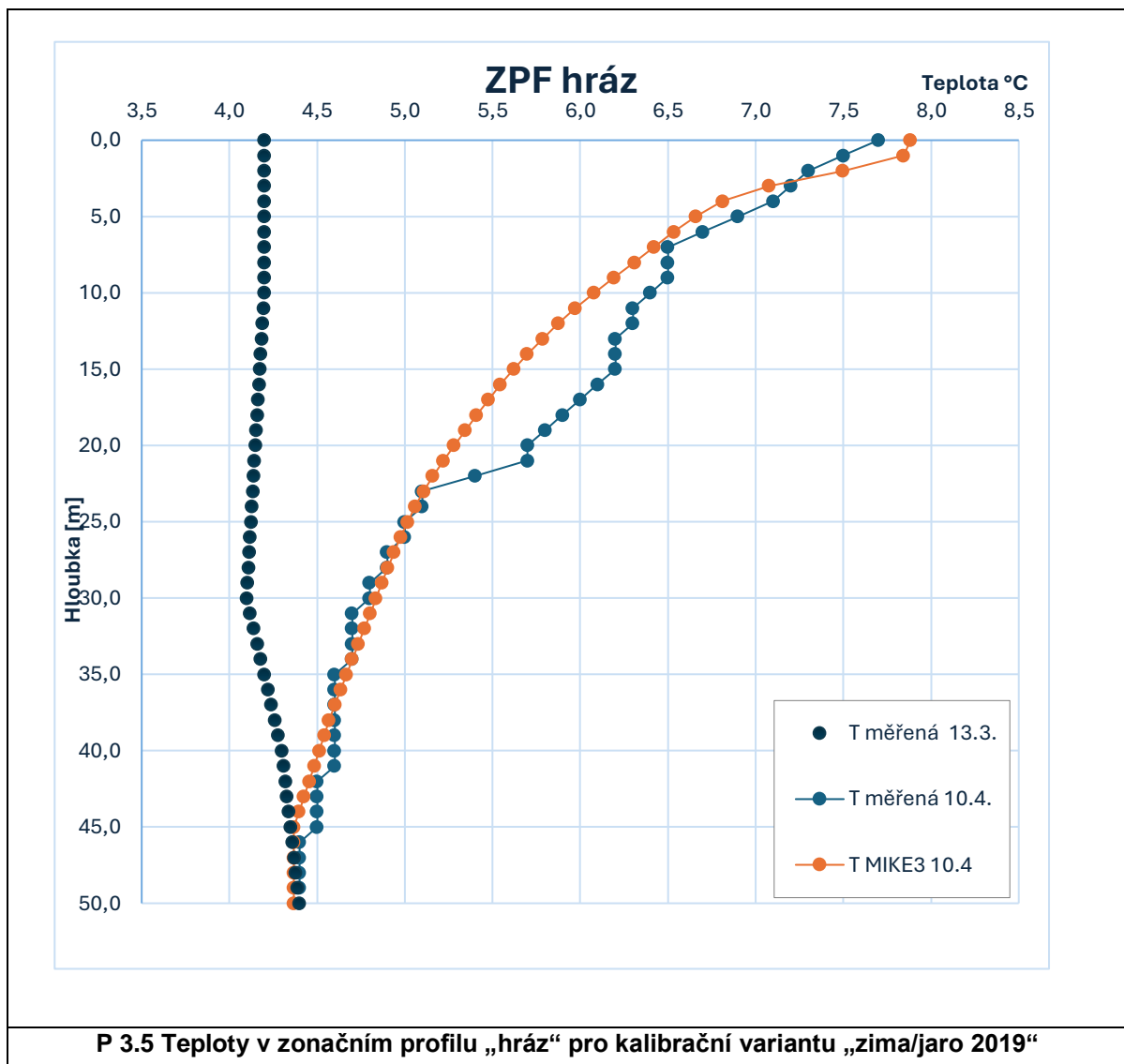


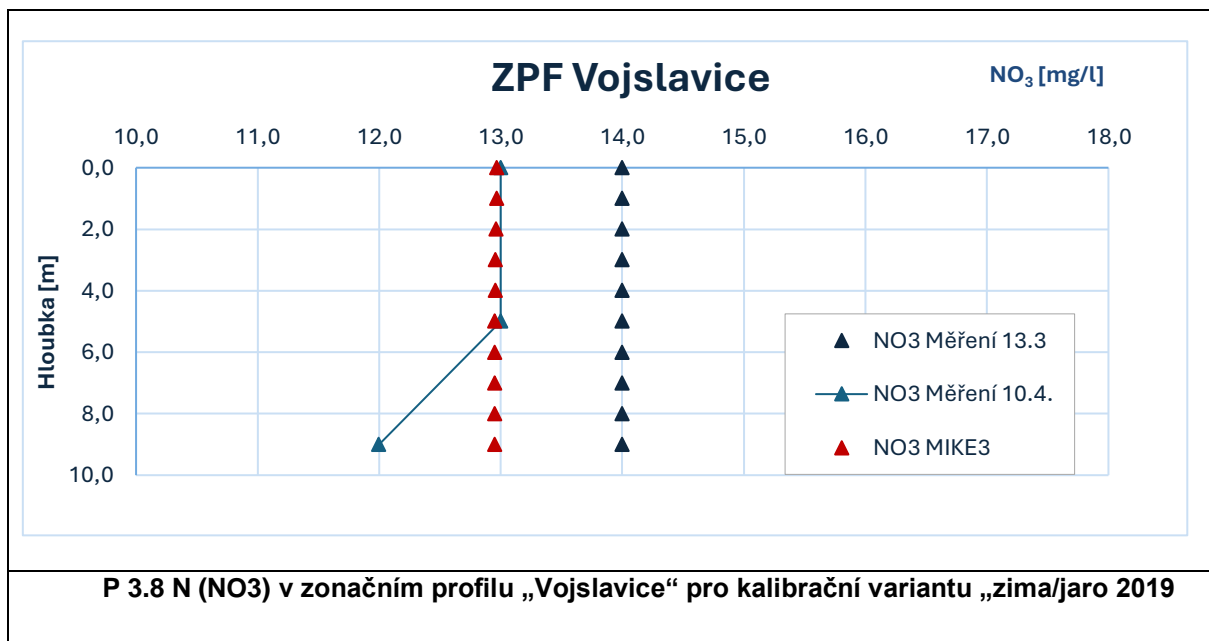
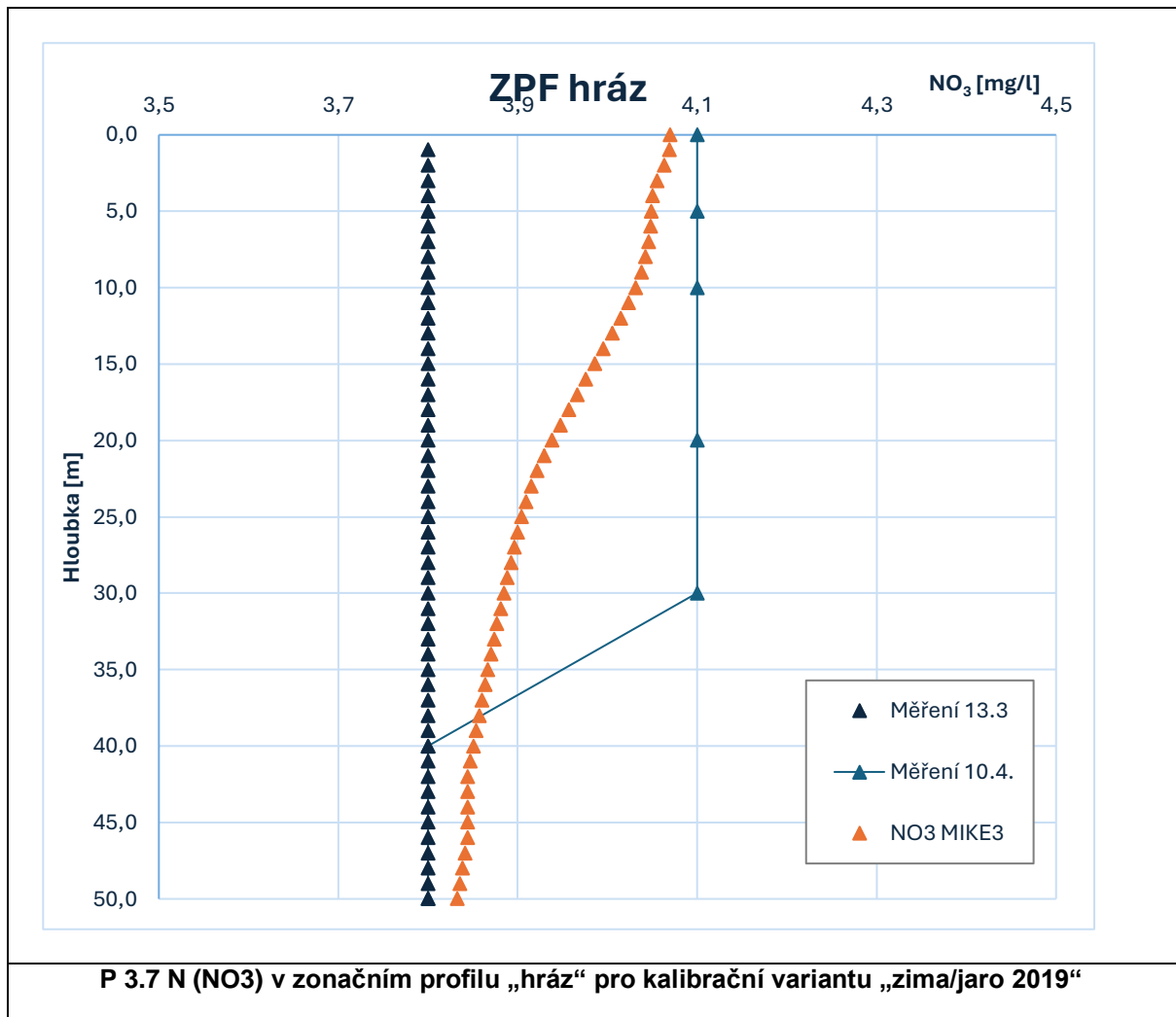
P 3.1 Situace – rozmístění zónačních profilů na VN Švihov

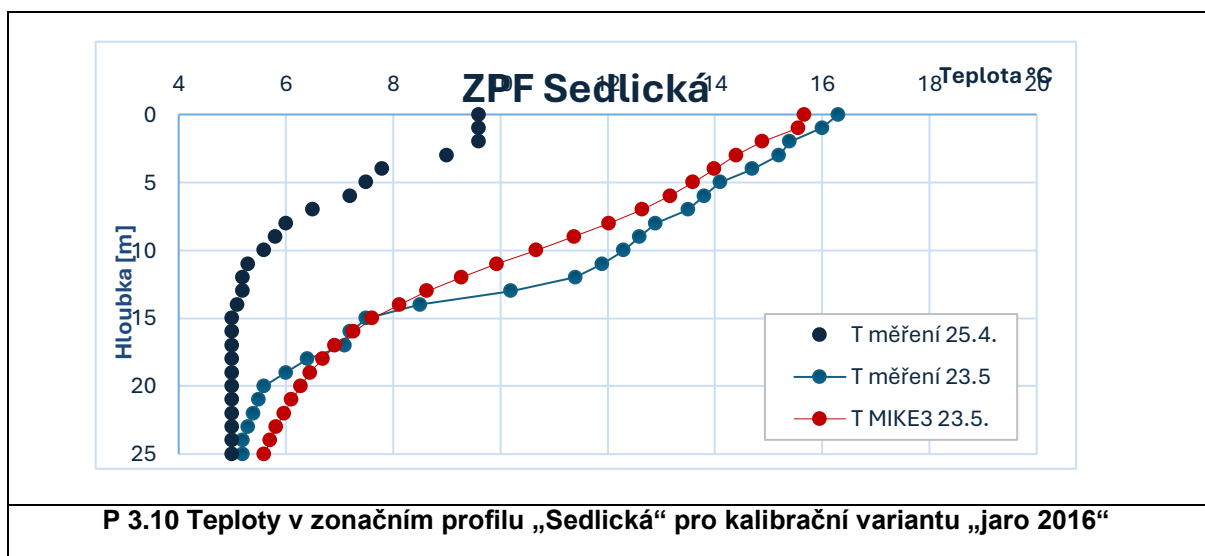
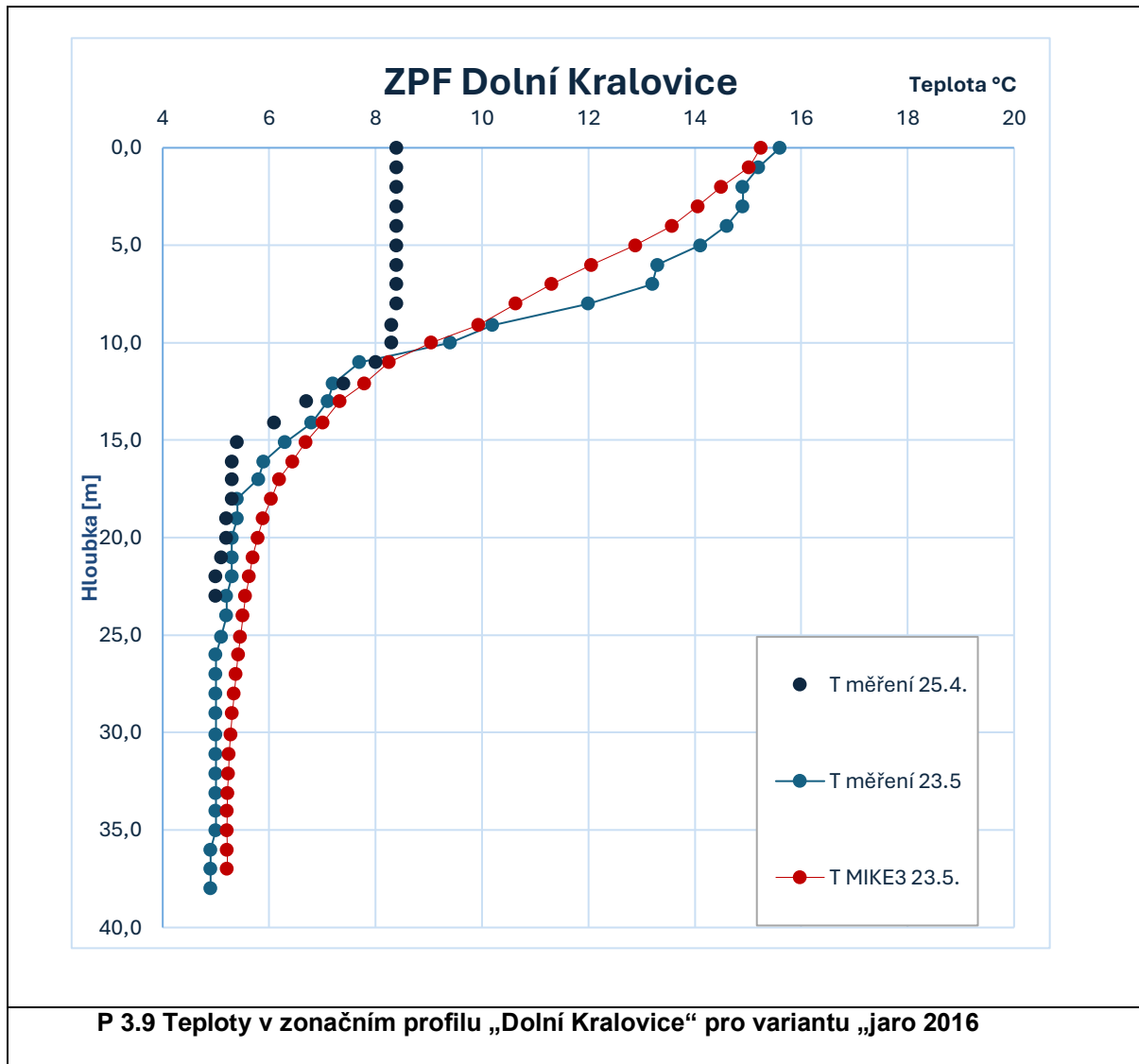


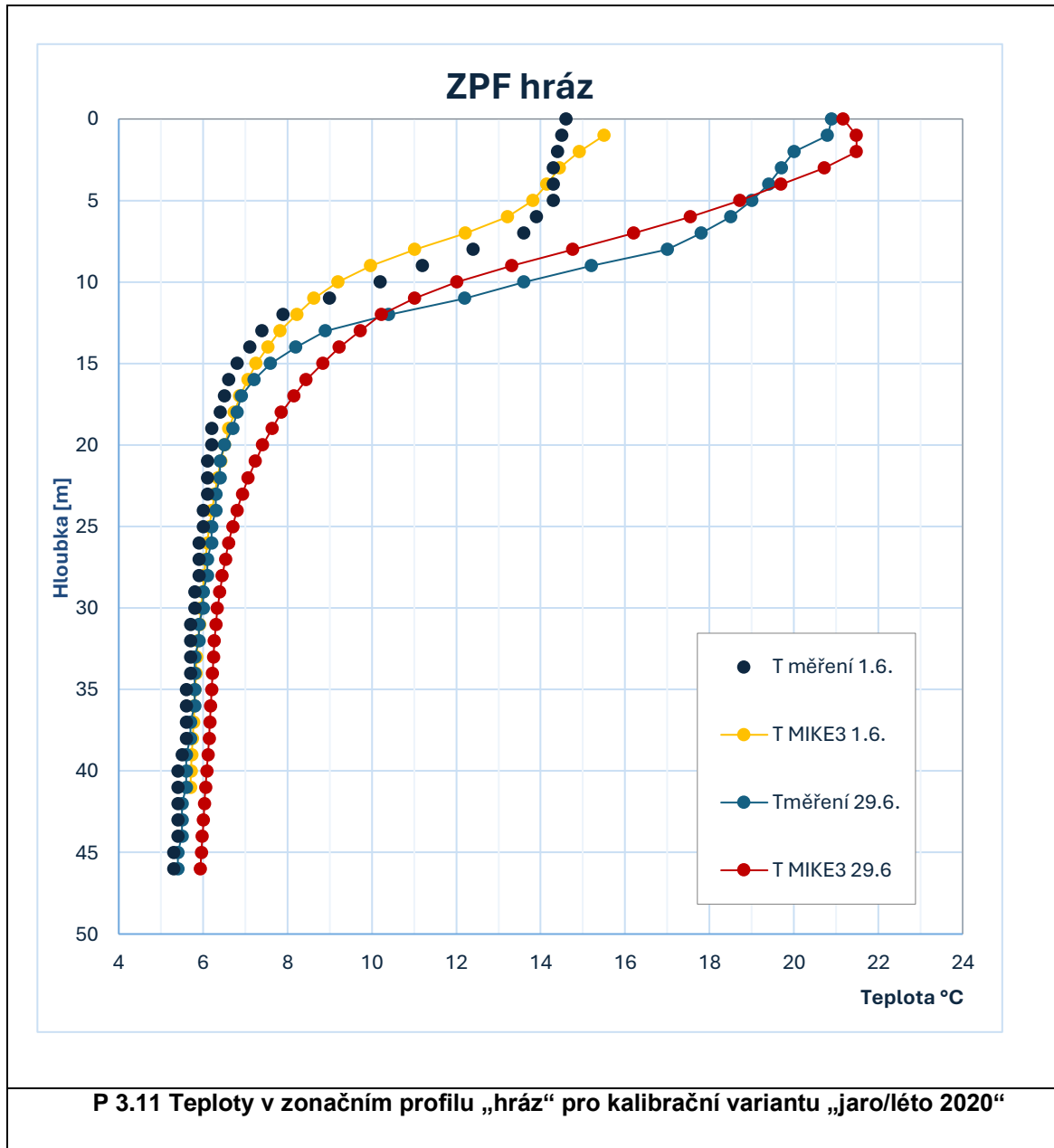
P 3.2 Digitální model terénu VN Švihov

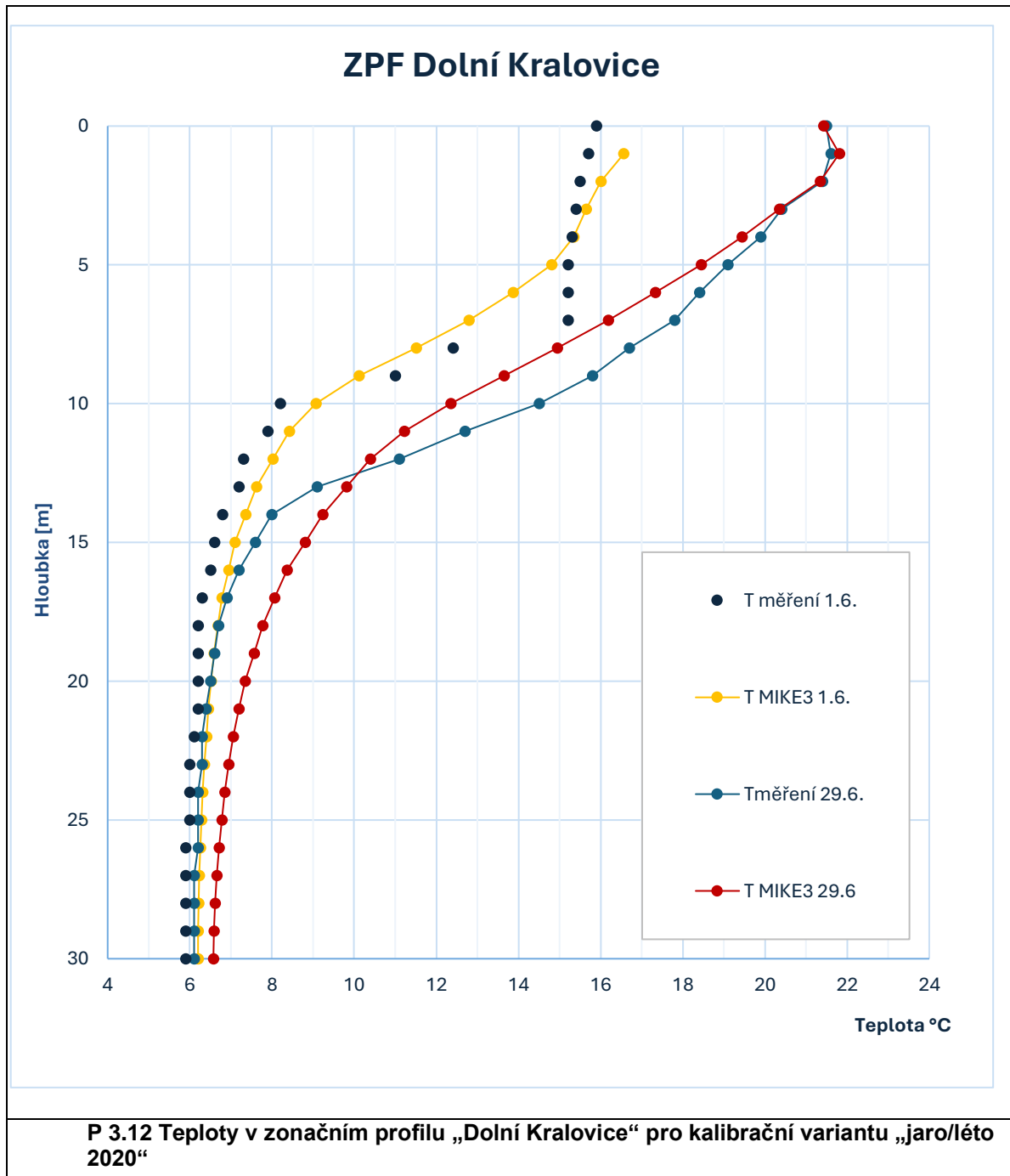


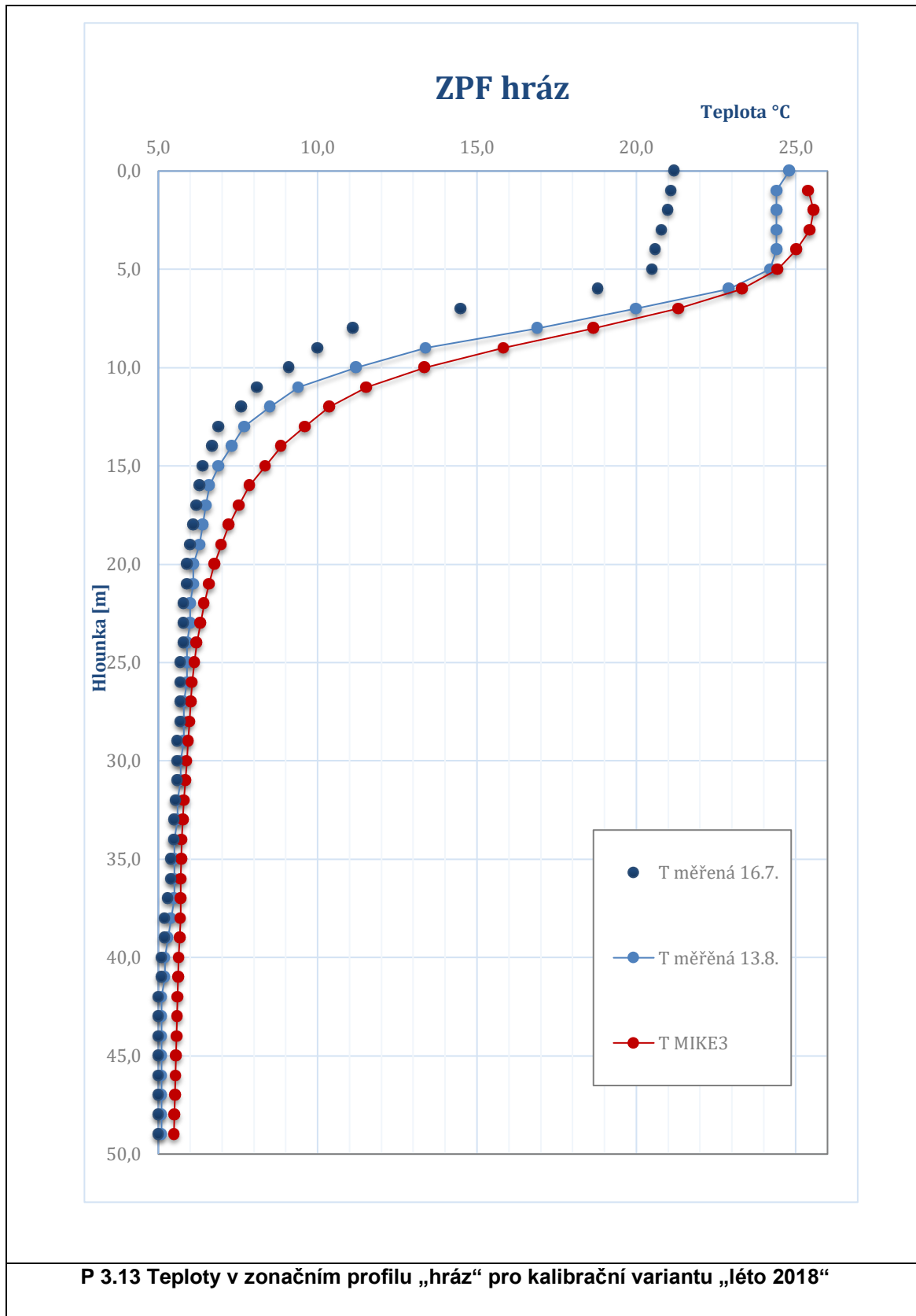


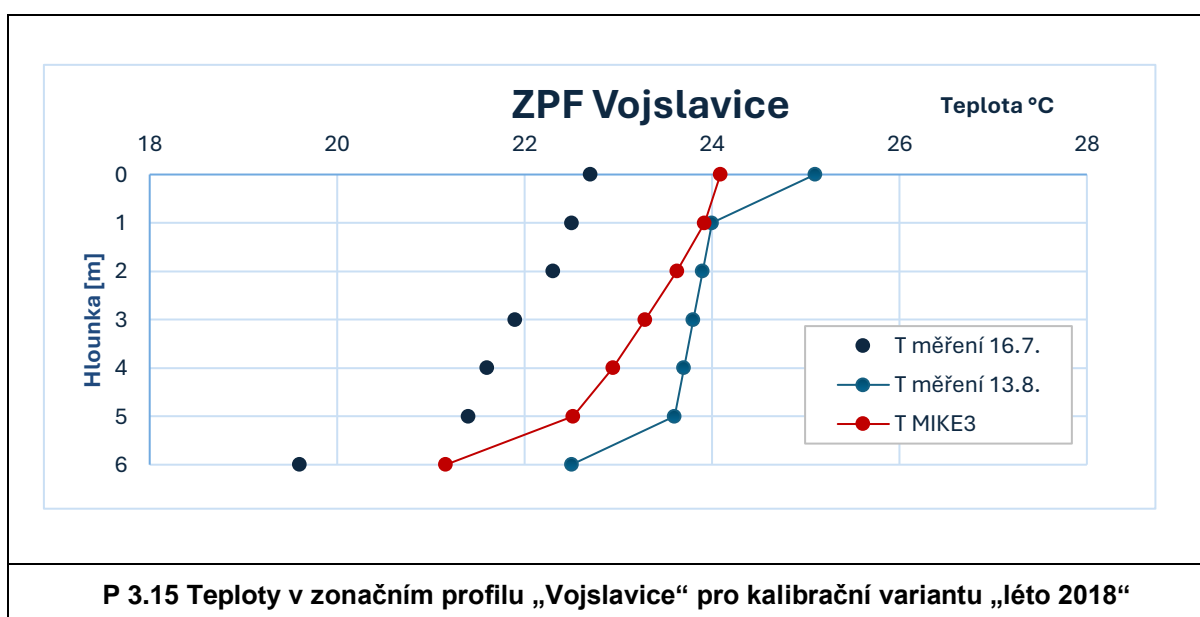
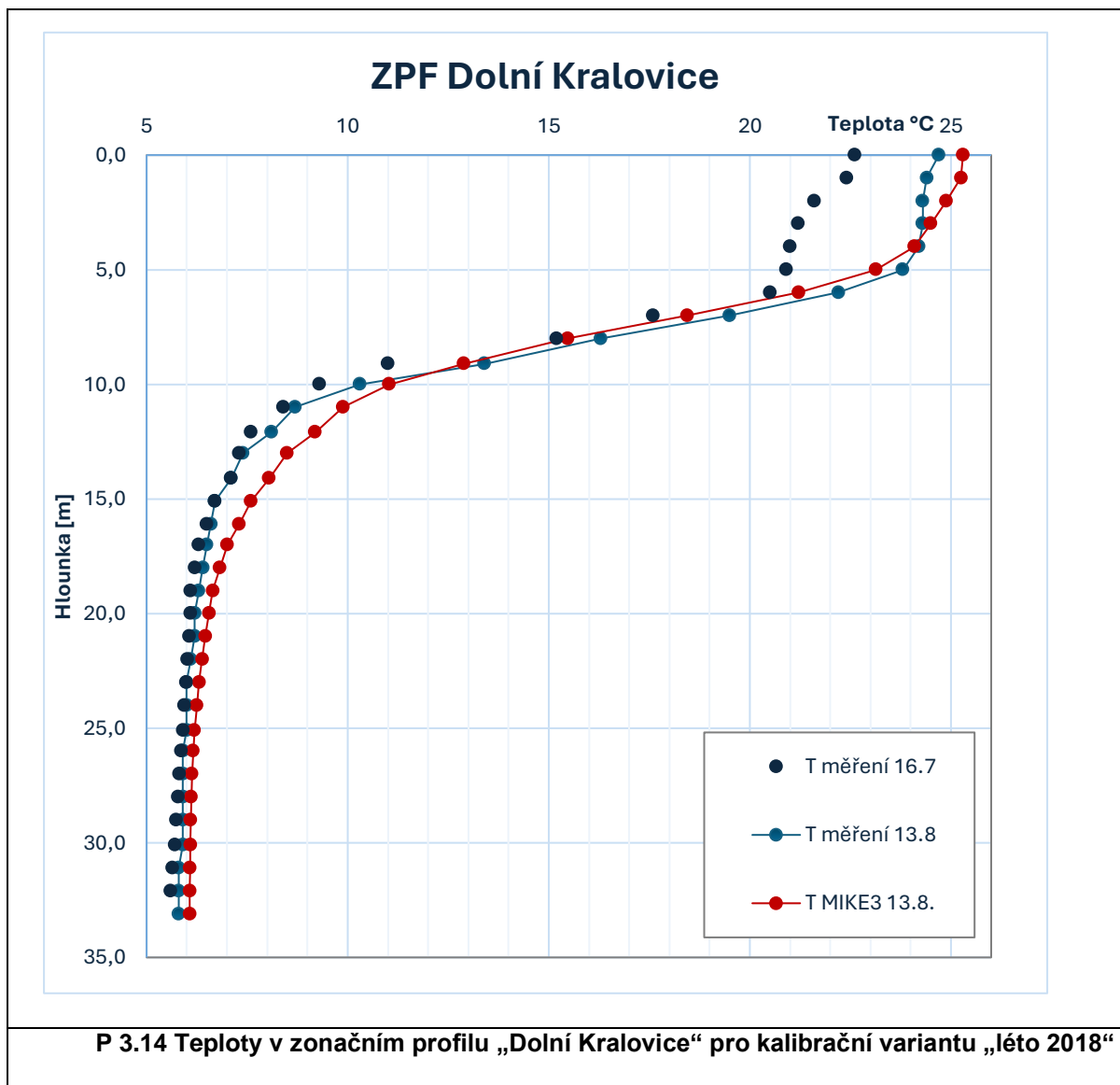


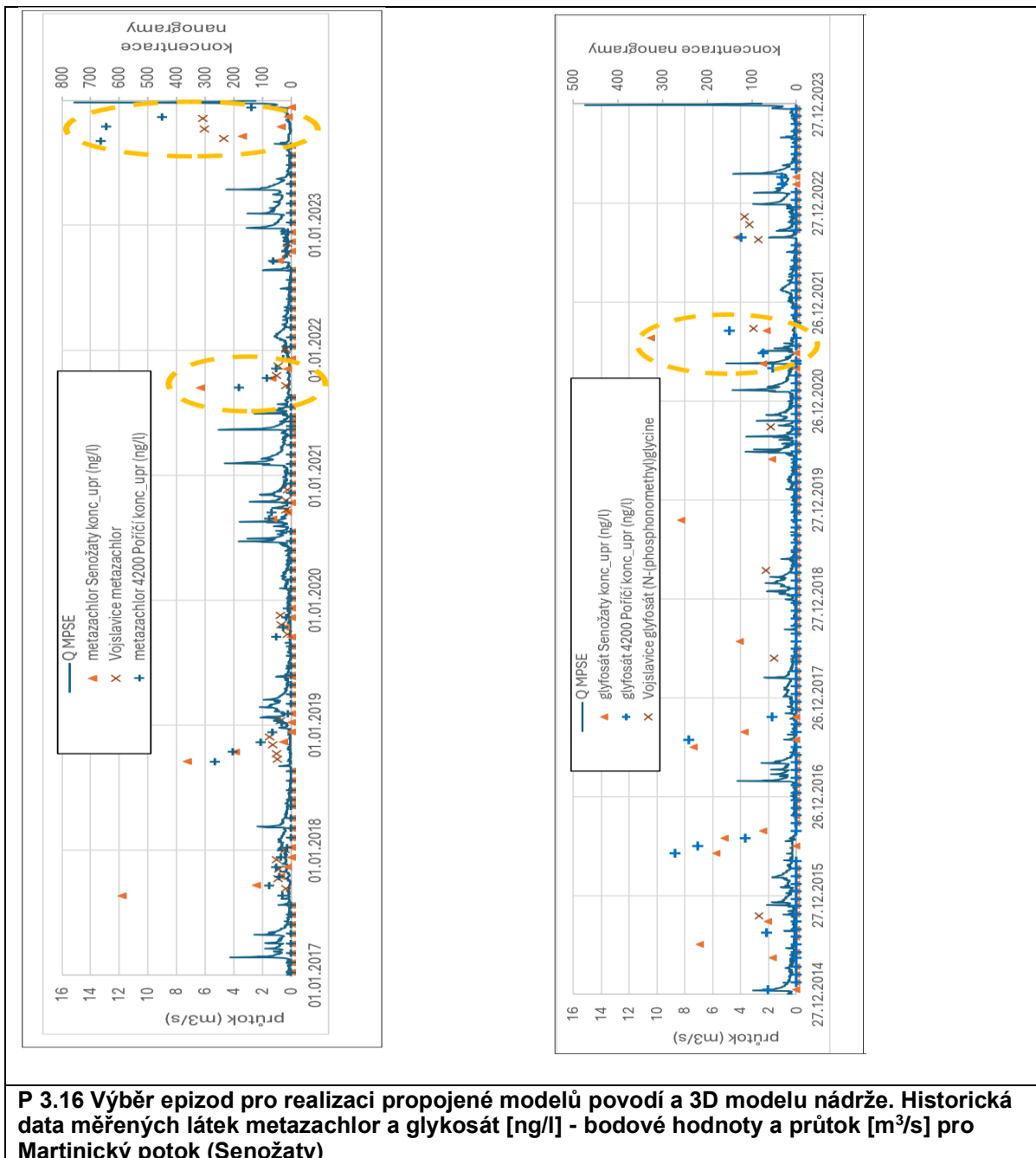


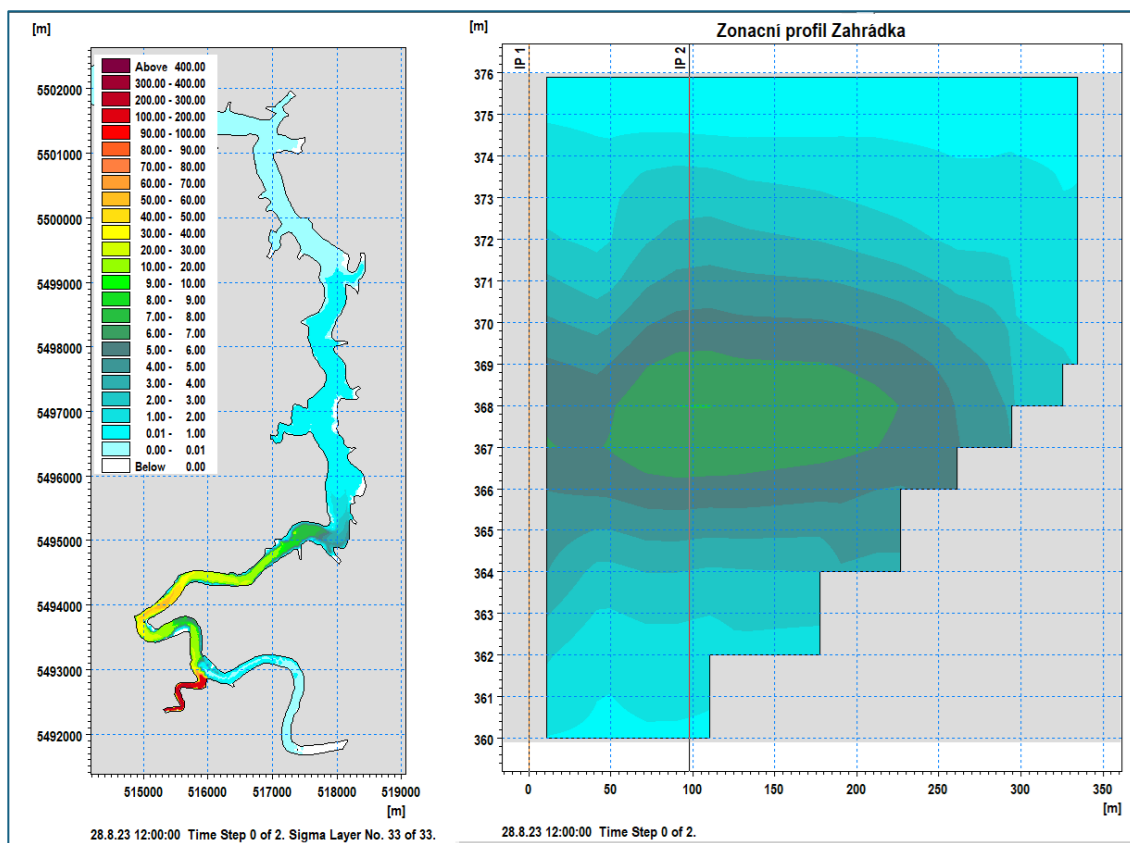












P 3.17 Šíření polutantu na základě vstupu interpretované okrajové podmínky z modelu povodí. Epizoda vnosu polutantu glykosát z Martinického potoka. Příčný profil odpovídá zónacnímu profilu Zahrádka. Rozšíření látky po 41 dnech – signální simulace z pokusu s šířením konzervativní látkou v nádrži